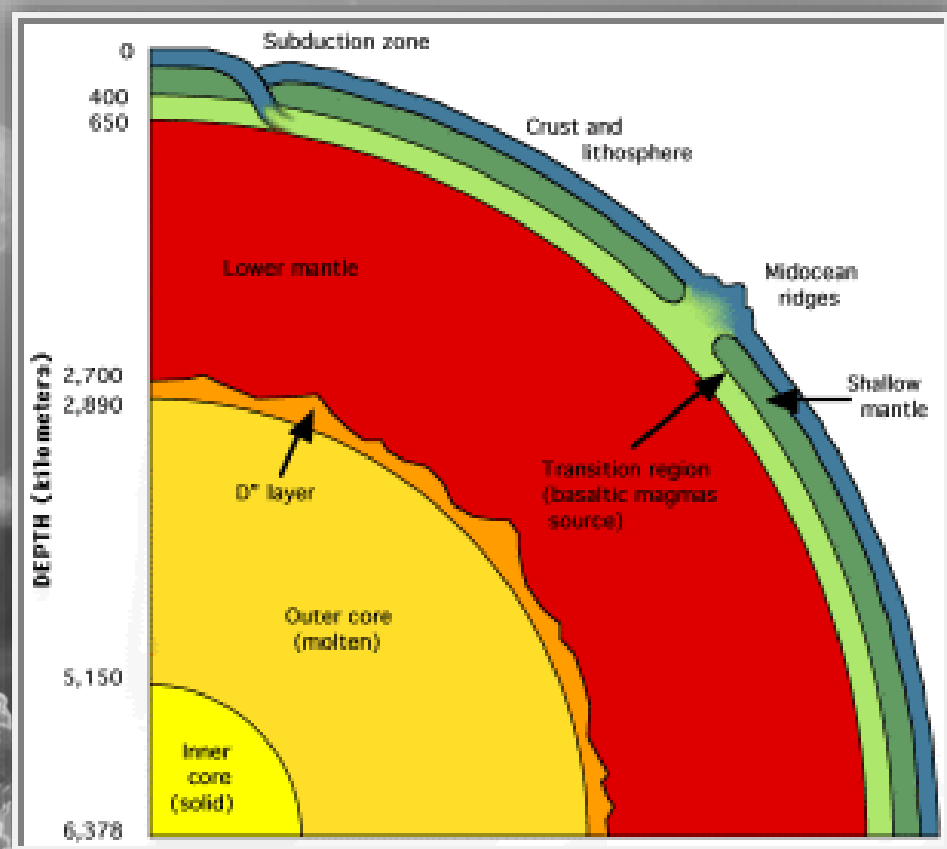
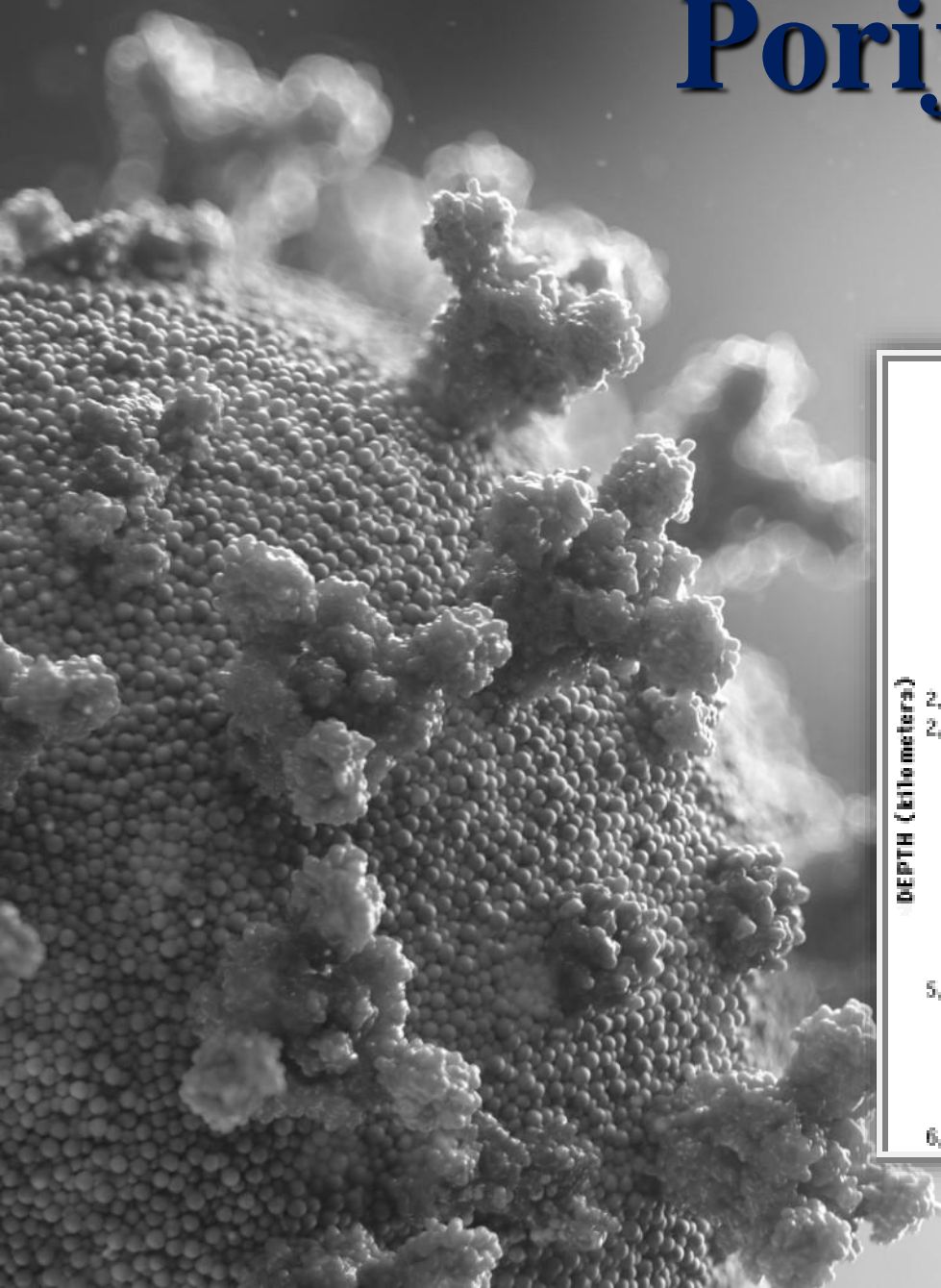


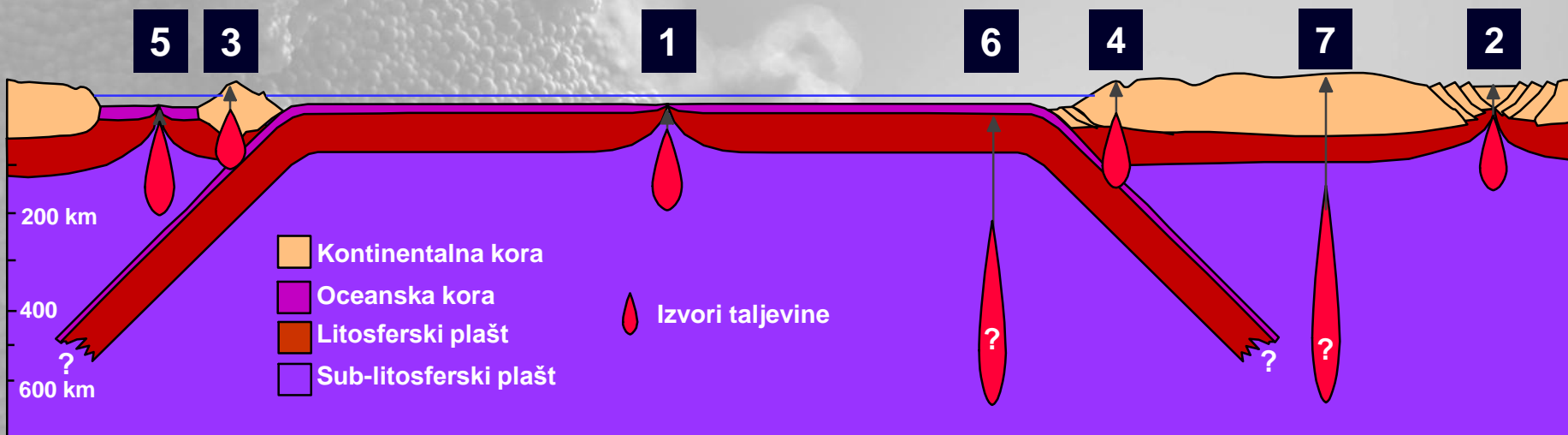
Porijeklo magme

sredine, okoliši, procesi



Tektonika ploča - geneza magme

1. Srednje oceanski hrbat
2. Intrakontinentalni rift
3. Otočni luk
4. Aktivni kontinentalni rub
5. Zalučni bazen
6. Oceanski otoci
7. Razne intra-kontinentalne zone
 - ◆ kimberliti, karbonatiti, anortoziti...

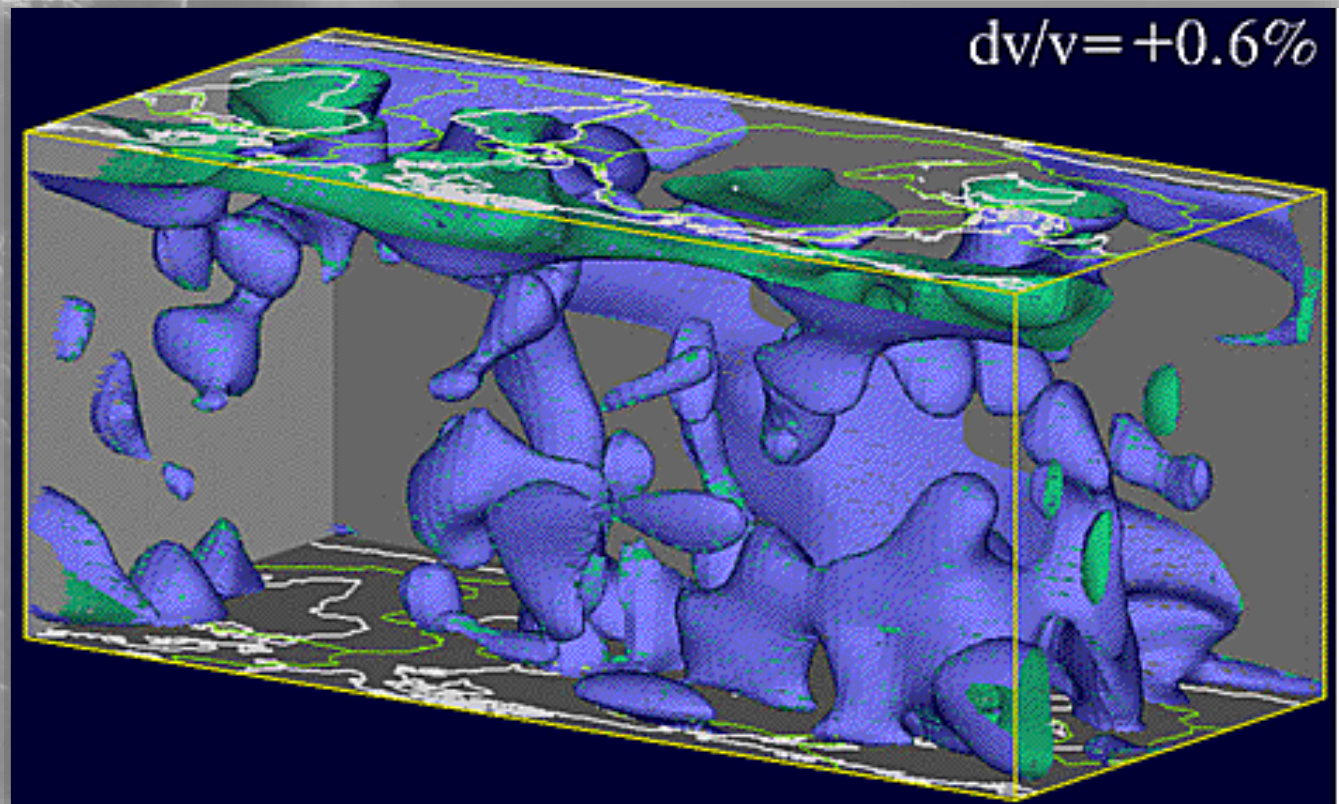


Plašt

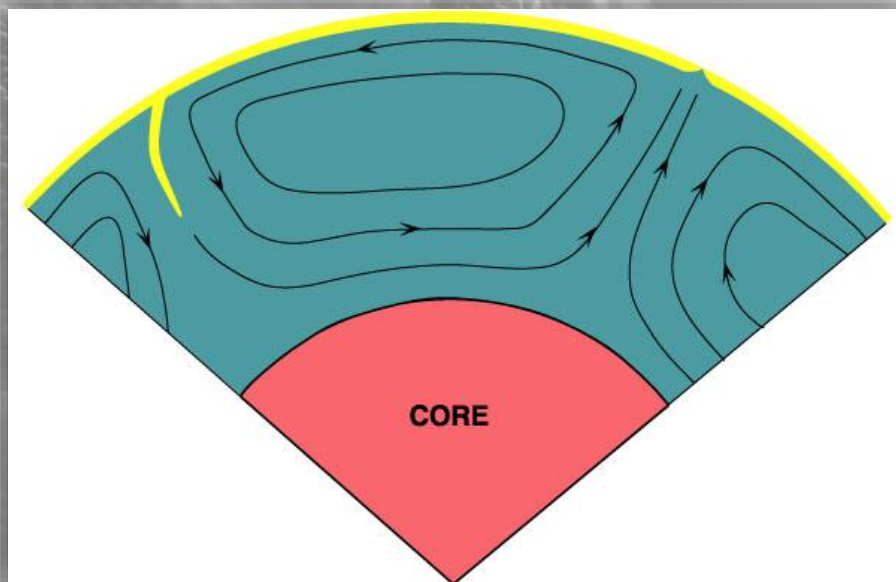
- heterogenost plašta
 - ◆ Seizmička tomografija

<http://www.seismo.unr.edu/ftp/pub/louie/class/100/interior.html>

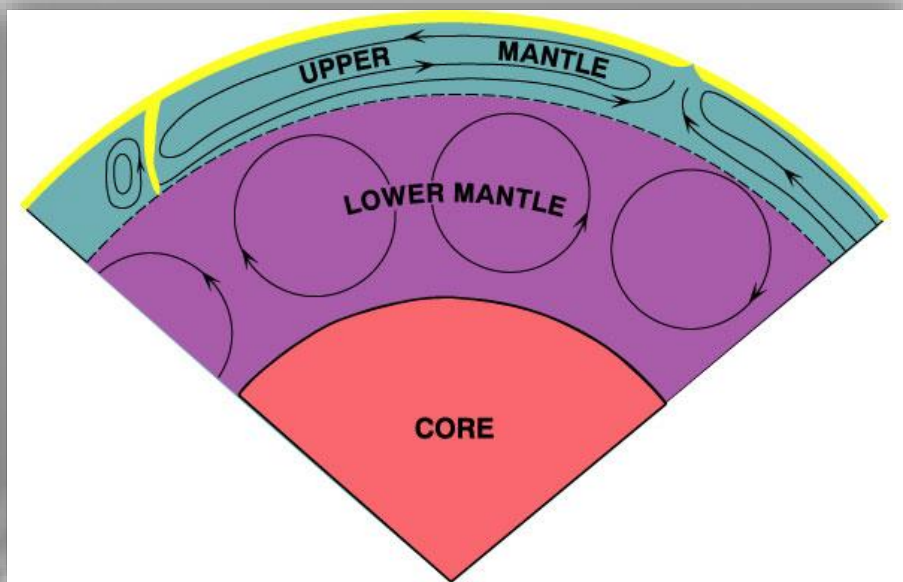
<http://www.uiggm.nsc.ru/homepages/geophysics/ris/>



Plaštni model 1975



Novi plaštni model



- Gornji plašt = MORB izvor
- Donji plašt = OIB izvor

Zemljina unutrašnjost

Kora:

Oceanska kora

Tanka: 10 km

Relativno jednoličan sastav = ofiolitni kompleks:

- sedimenti
- pillow bazalti
- dajkovi dijabaza
- masivni gabro
- ultramafiti (plašt)

Kontinentalna kora

Deblja: 20-90 km; u prosjeku ~35 km

Varijabilan sastav

- ◆ U prosjeku ~ granodiorit

Zemljina unutrašnjost

Plašt:

Peridotit (ultramafiti)

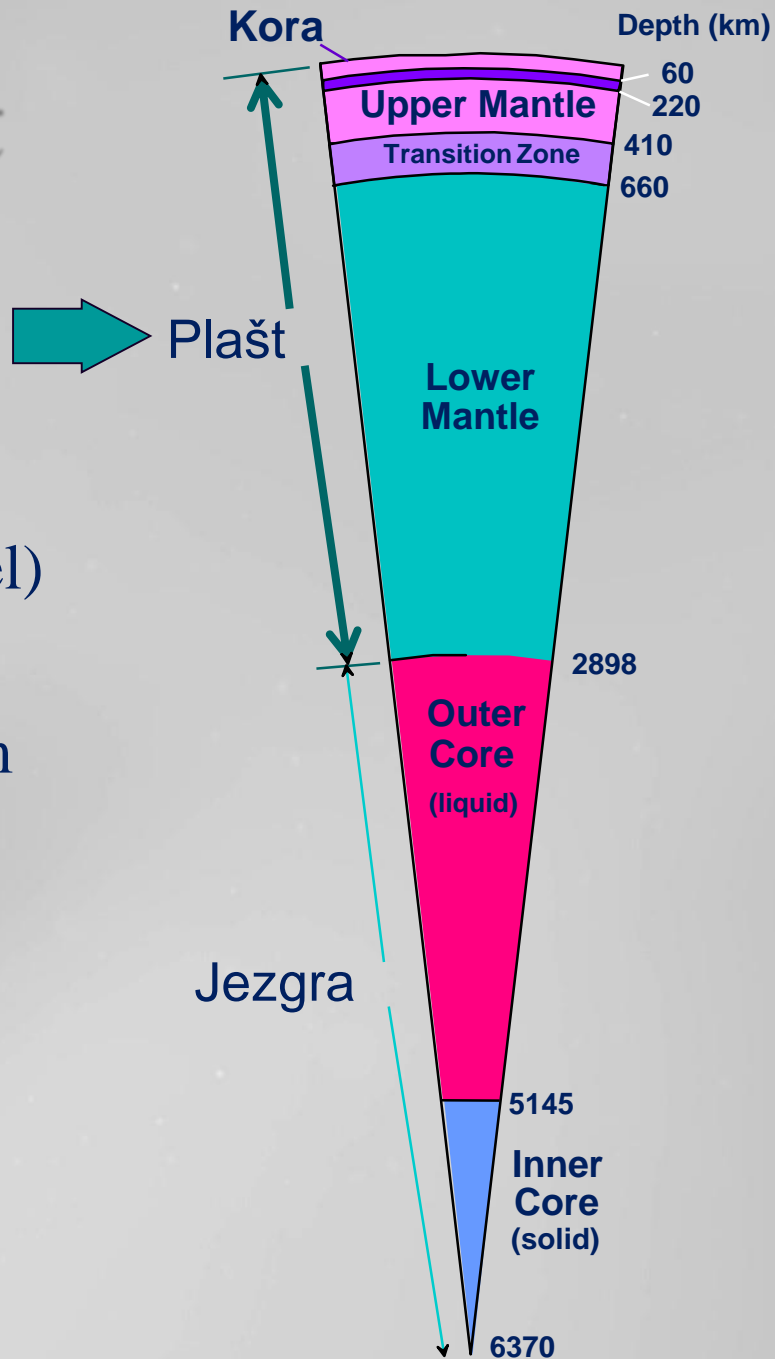
Gornji plašt do 410 km (olivin → spinel)

- ◆ Zona sniženih brzina
- ◆ “Low Velocity Layer” 60-220 km

Transition Zone porast brzine ~ nagli

- ◆ 660 spinel → perovskit-type
 $\text{Si}^{\text{IV}} \rightarrow \text{Si}^{\text{VI}}$

Donji plašt porast brzine



Zemljina unutrašnjost

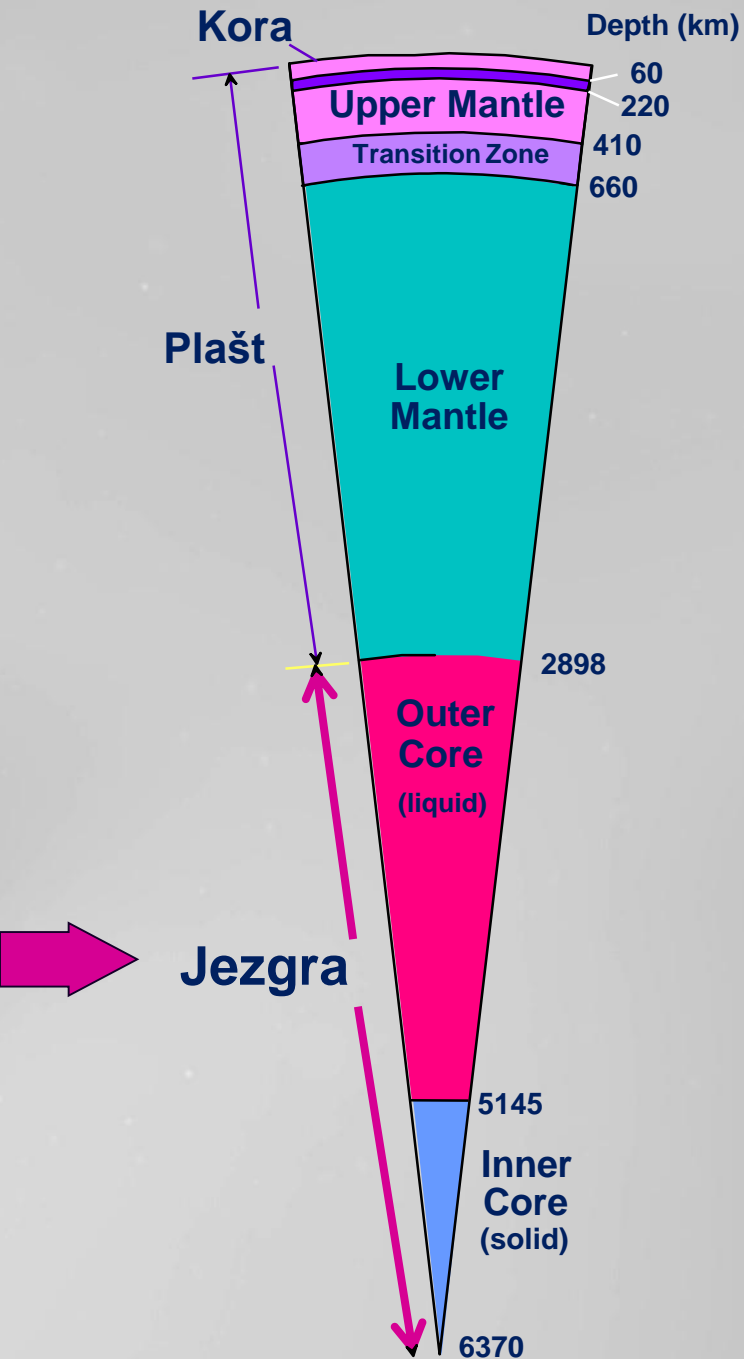
Jezgra:

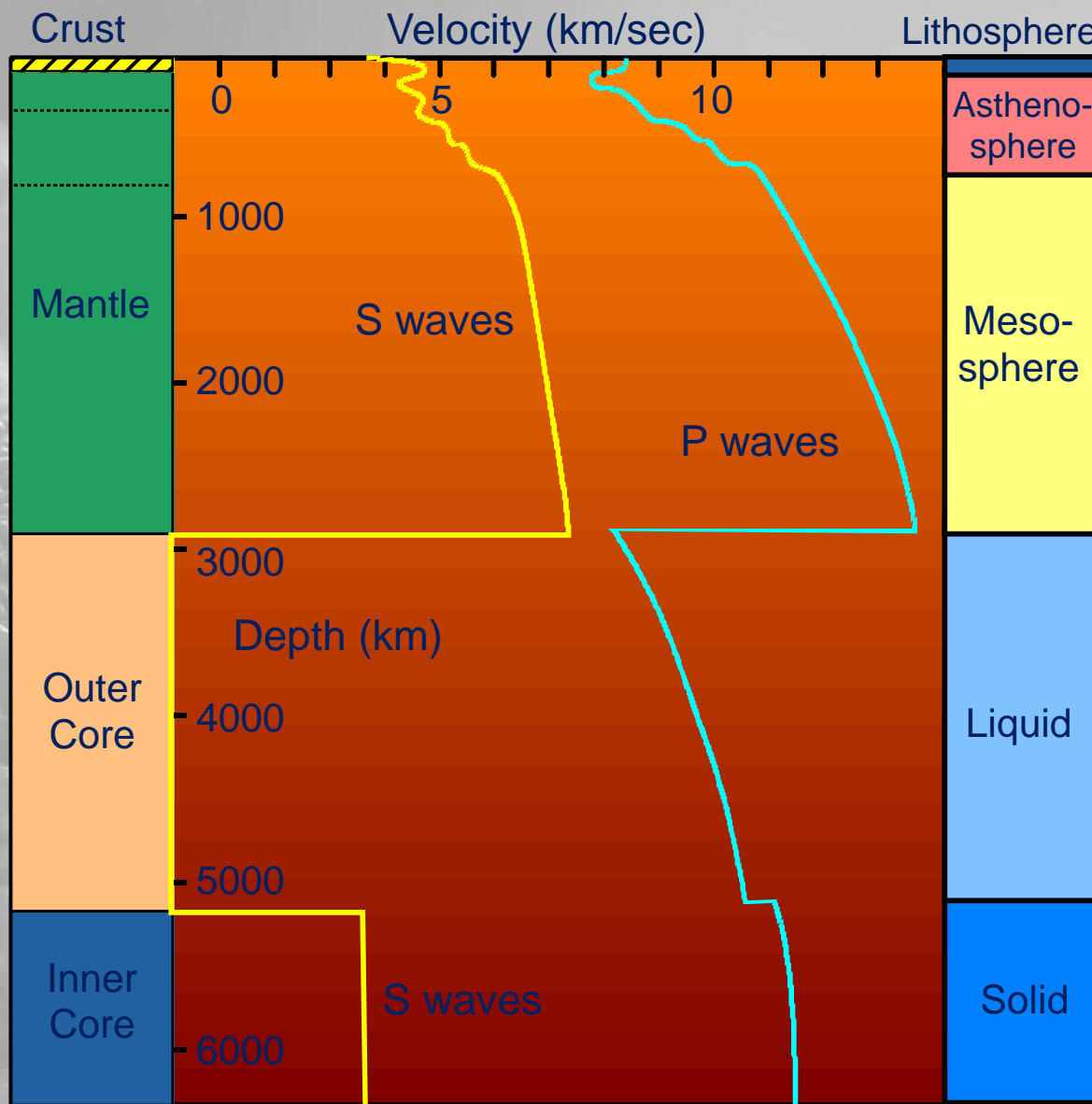
Fe-Ni legura

Vanjska jezgra je tekuća

- ◆ Nema S-valova

Unutarnja jezgra je kruta



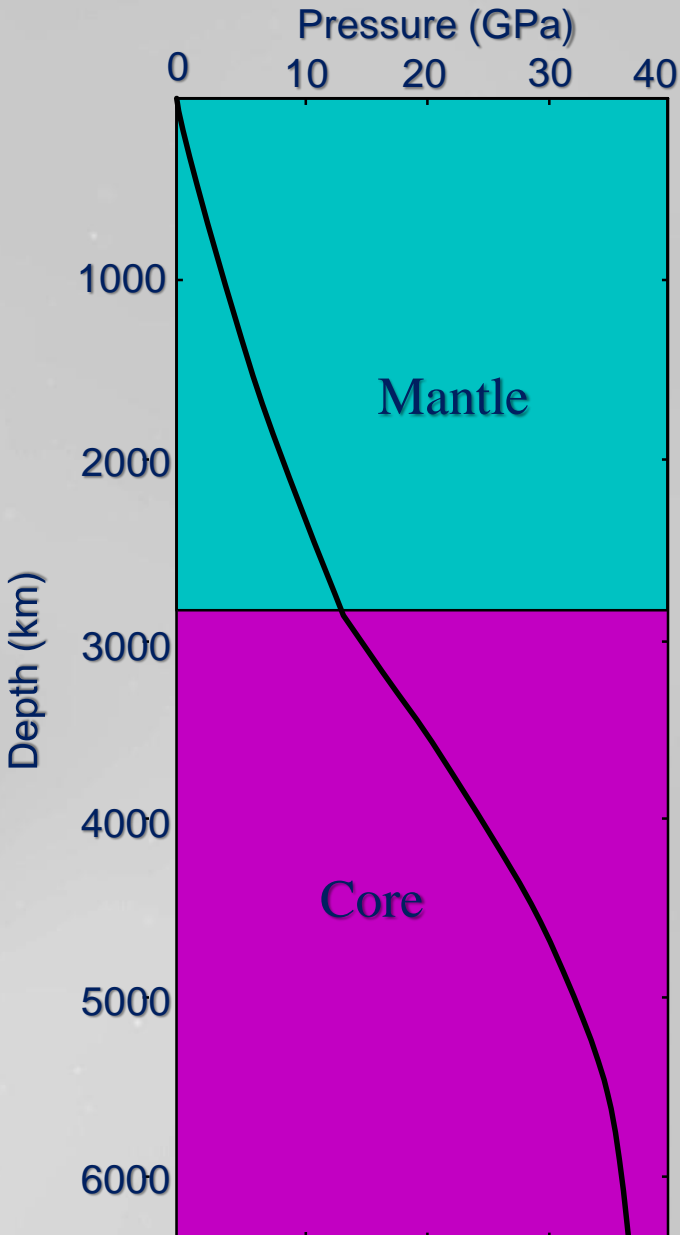


Slika II-15. Varijacije u brzini P i S valova s dubinom.

Prema Kearey and Vine (1990), *Global Tectonics*. © Blackwell Scientific. Oxford.

Gradijent tlaka

- $P = \rho gh$
- Približno linearno kroz plašt
 - ◆ $\sim 30 \text{ MPa/km}$
 - ◆ » 1 GPa u dnu prosječne kore
- Jezgra: P raste naglijie jer su veće gustoće



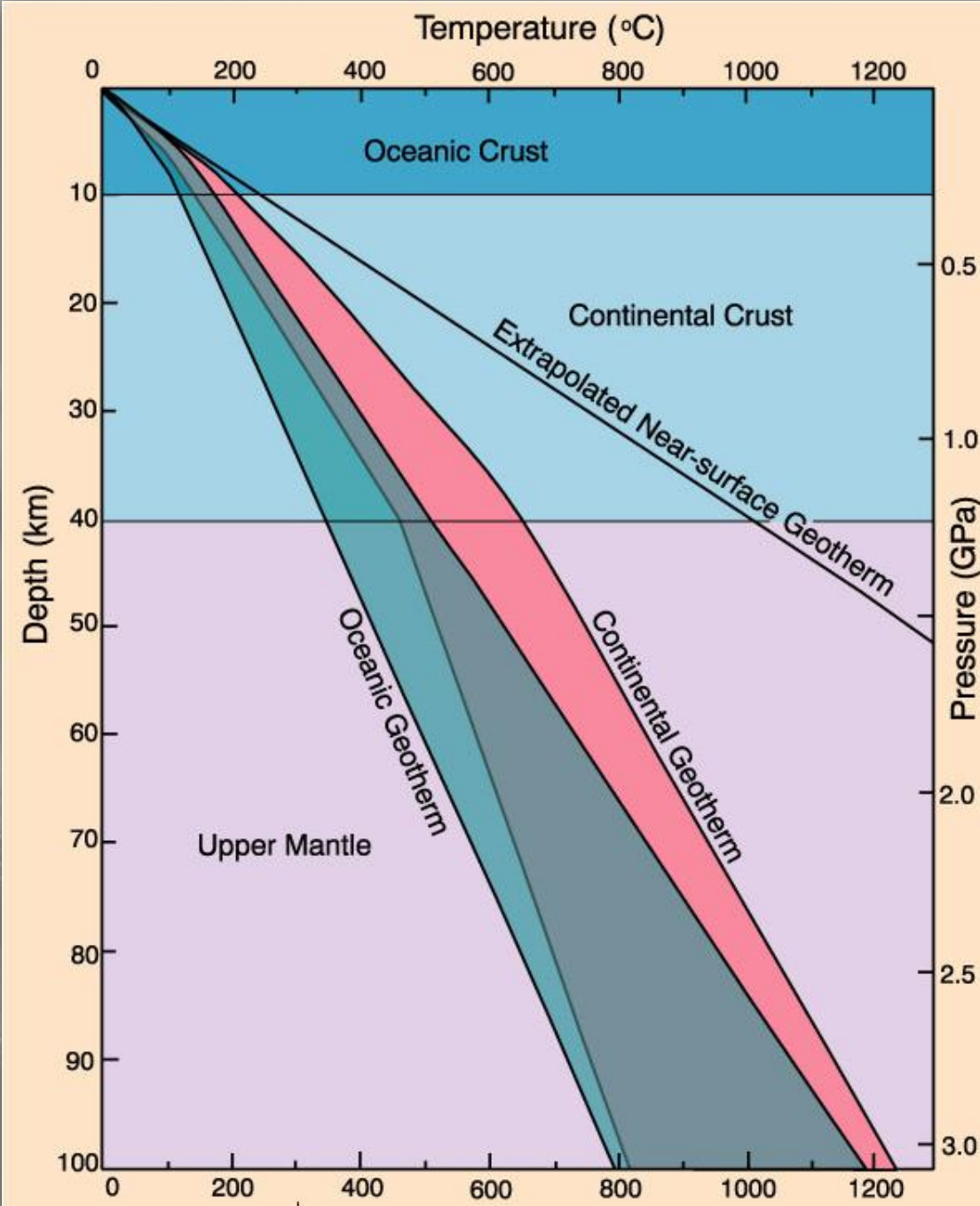
Slika II-16. Varijacije tlaka s dubinom. Prema Dziewonski and Anderson (1981). Phys. Earth Planet. Int., 25, 297-356. © Elsevier Science.

Izvori topline u Zemlji

1. Toplina od akrecije i rane diferencijacije Zemlje
 - polako dosiže površinu
2. Toplina oslobođena radioaktivnim raspadom
 - frikcijsko zagrijavanje
 - udar meteorita

Geotermalni gradijent

Slika II-18. Rasponi kontinentalnog i oceanskog geotermalnog gradijenta u stabilnom stanju do dubine od 100 km. Prema Sclater *et al.* (1980), Earth. Rev. Geophys. Space Sci., 18, 269-311.

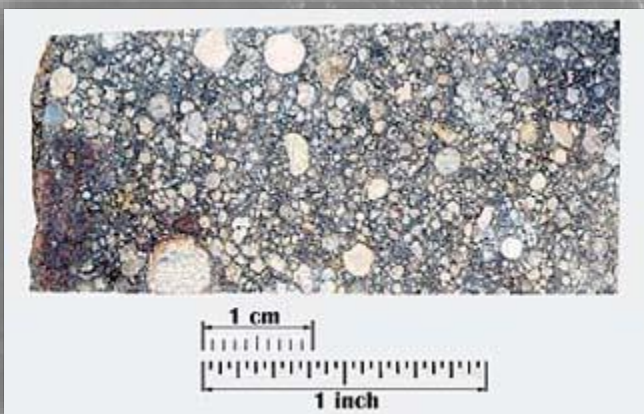


Izvori podataka o plaštu

- Ofioliti
 - ◆ Ploča od oceanske kore i plašta
 - ◆ Navučene u subdukcijskim zonama na rub kontinenta
- Grabilicama iz oceanskih zona na lomovima
- Nodule i ksenoliti u nekim bazaltilima
- Kimberlitni ksenoliti
 - ◆ Dijamantske “cijevi” (pipes) porijeklom iz plašta s brojnim ksenolitima

Meteoriti

- analogni materijalima iz dubine
- fragmenti terestričkih planeta
- istovremeni (4.5×10^9 god.)
- asteroidni pojas + Mjesec + Mars (24)
- kameni m. iz plašta
- željezni m. iz jezgre



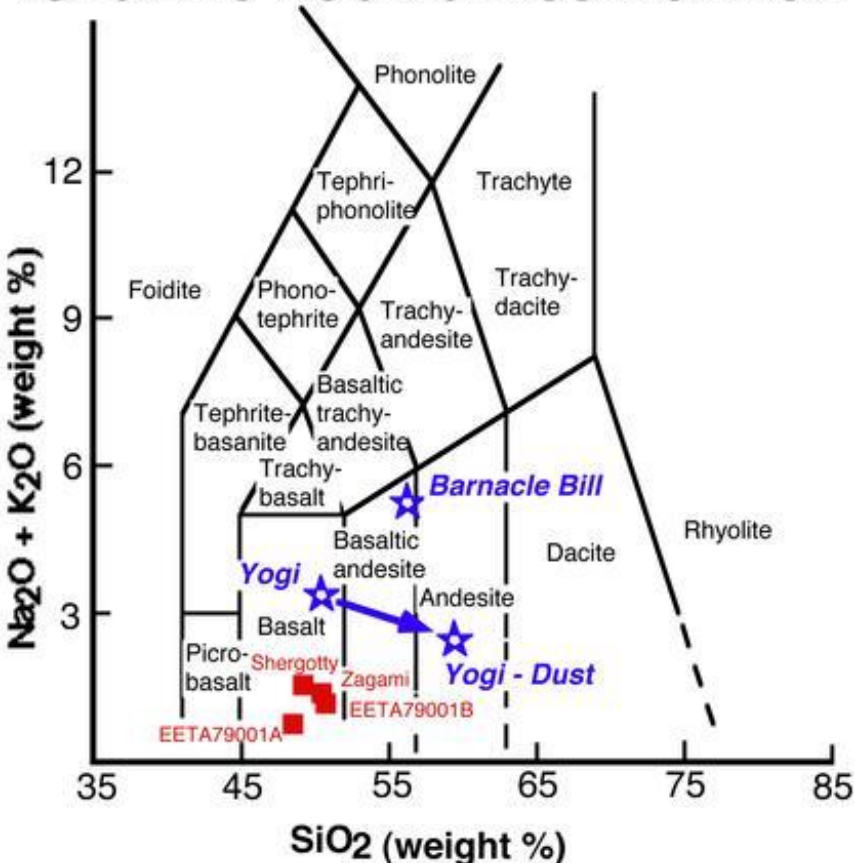
Hondrit

Meteorit	Sastav
Željezni meteorit	Fe-Ni legure
Kameno-željezni	Fe-Ni + silikati
Hondriti	kameni meteorit hondrule, hondre – sfere do 1mm ranije rastaljenog materijala opx+ol±pl
Ugljikovi met.	C, slični sastavu zvijezde – volatili
Ahondriti	slični bazaltima porijekлом с Mjeseca i Marsa

Omjer pronađenih meteorita
odgovara omjeru volumena
plašta i jezgre

Mars

VOLCANIC ROCK CLASSIFICATION



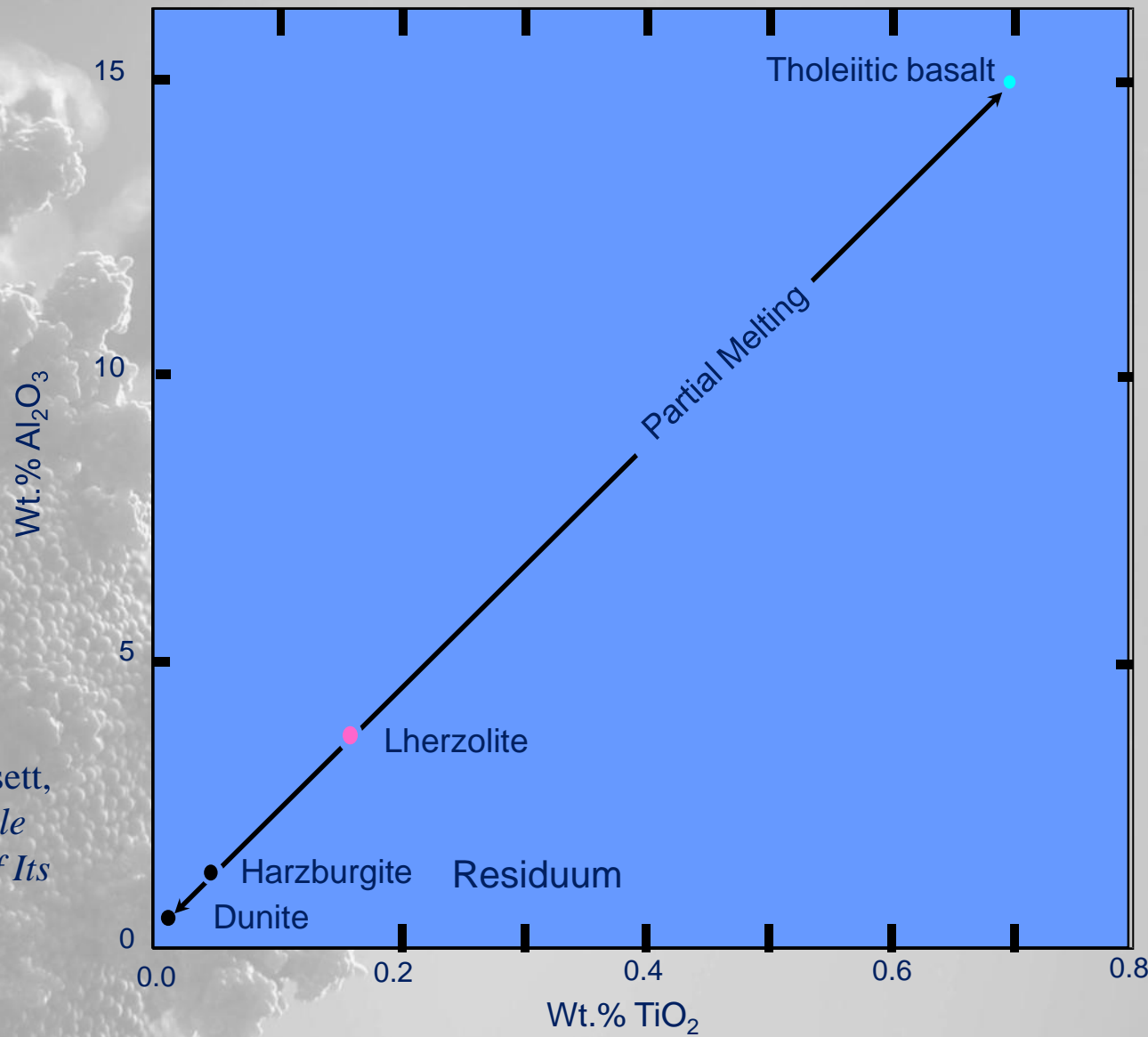
Mars Pathfinder 97
Sojourner rover
Mars Exploration Rover
Mission 2004 -
Spirit & Opportunity
kiseliji nego što se očekivalo,
različit sastav od SNC
meteorita

Lercolit odgovara neizmjenjenom plaštu

Dunit i harzburgit ostatak nakon što je izdvojen bazalt parcijalnim taljenjem

pirolit

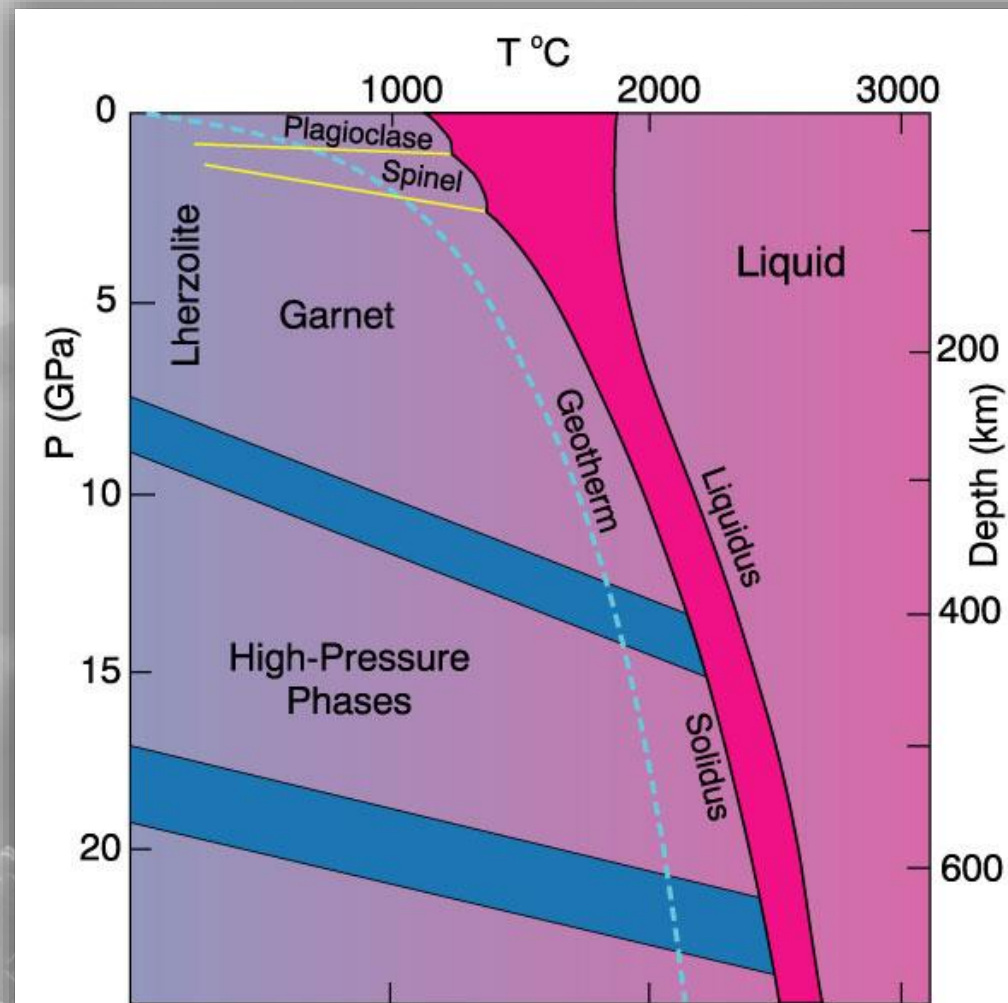
Slika II-22 Brown and Mussett,
A. E. (1993), *The Inaccessible
Earth: An Integrated View of Its
Structure and Composition.*
Chapman & Hall/Kluwer.



Fazni dijagram za Al 4-fazni lercolit:

Al faza =

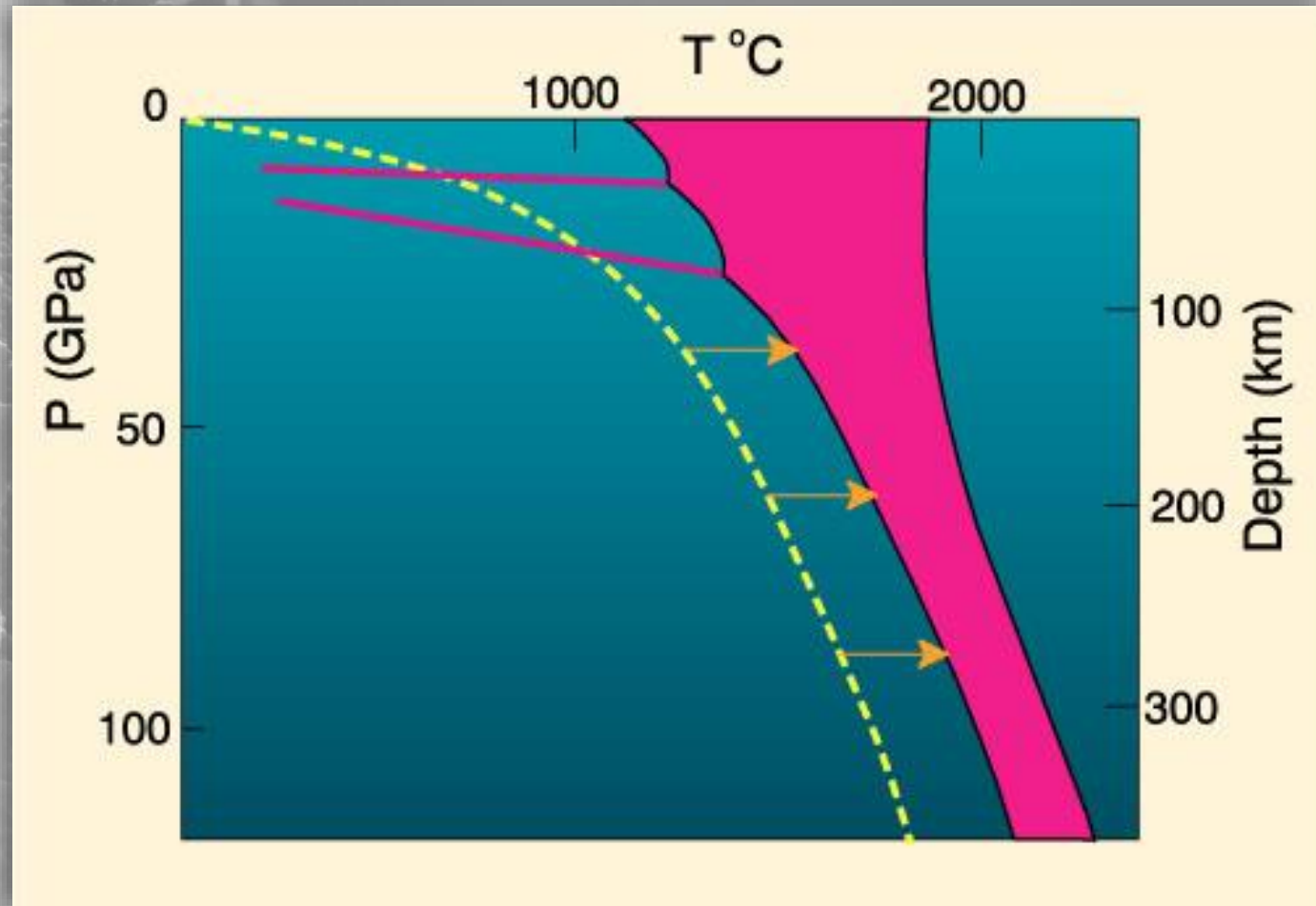
- Plagioklas
plitko (< 50 km)
- Spinel
50–80 km
- Granat
80–400 km
- Si → VI koord.
> 400 km



Slika II-23 Prema Wyllie, P. J. (1981). Geol. Rundsch. **70**, 128-153.

Kako se tali plasti??

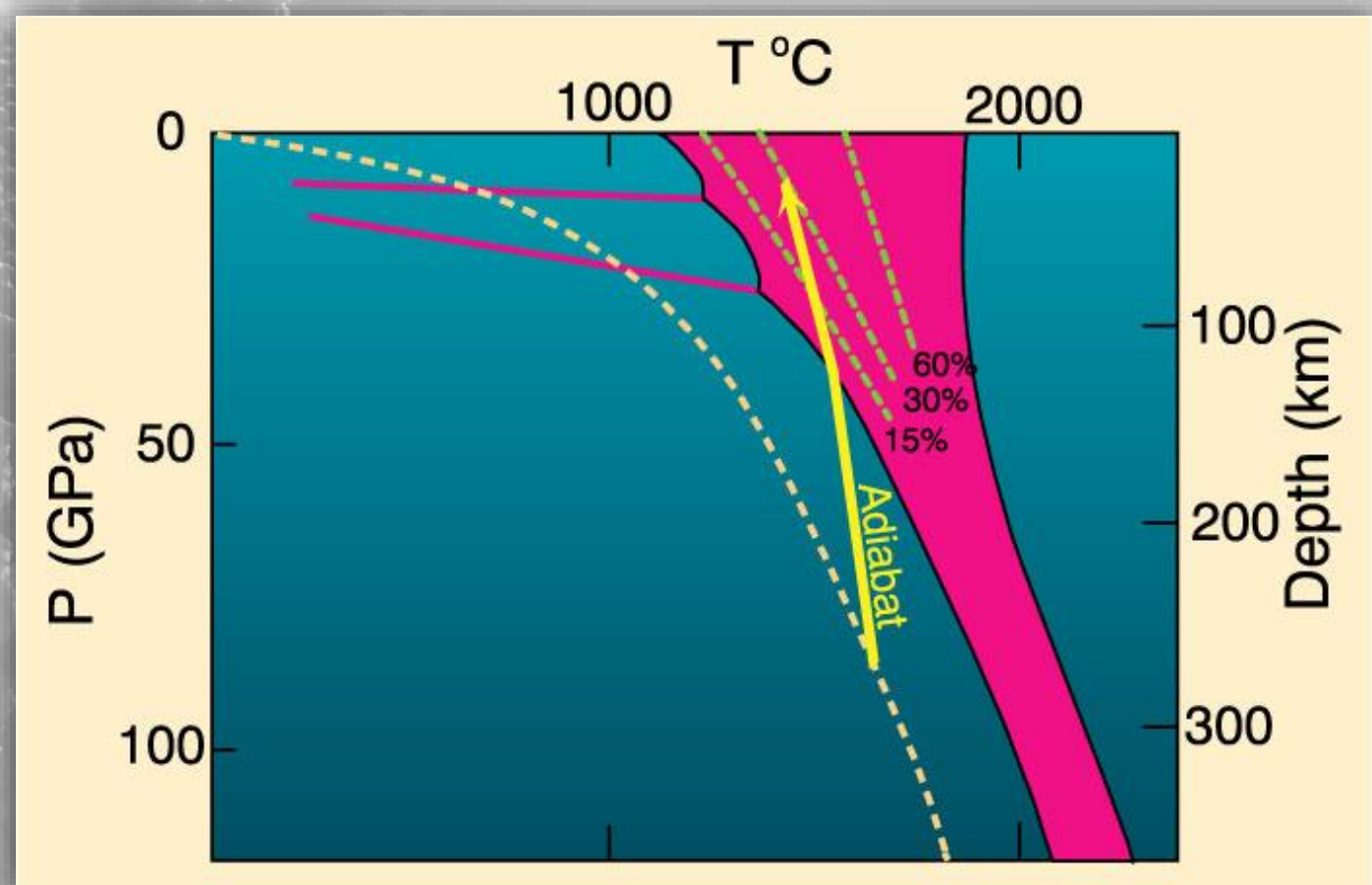
1) Porastom temperature



Slika II-24

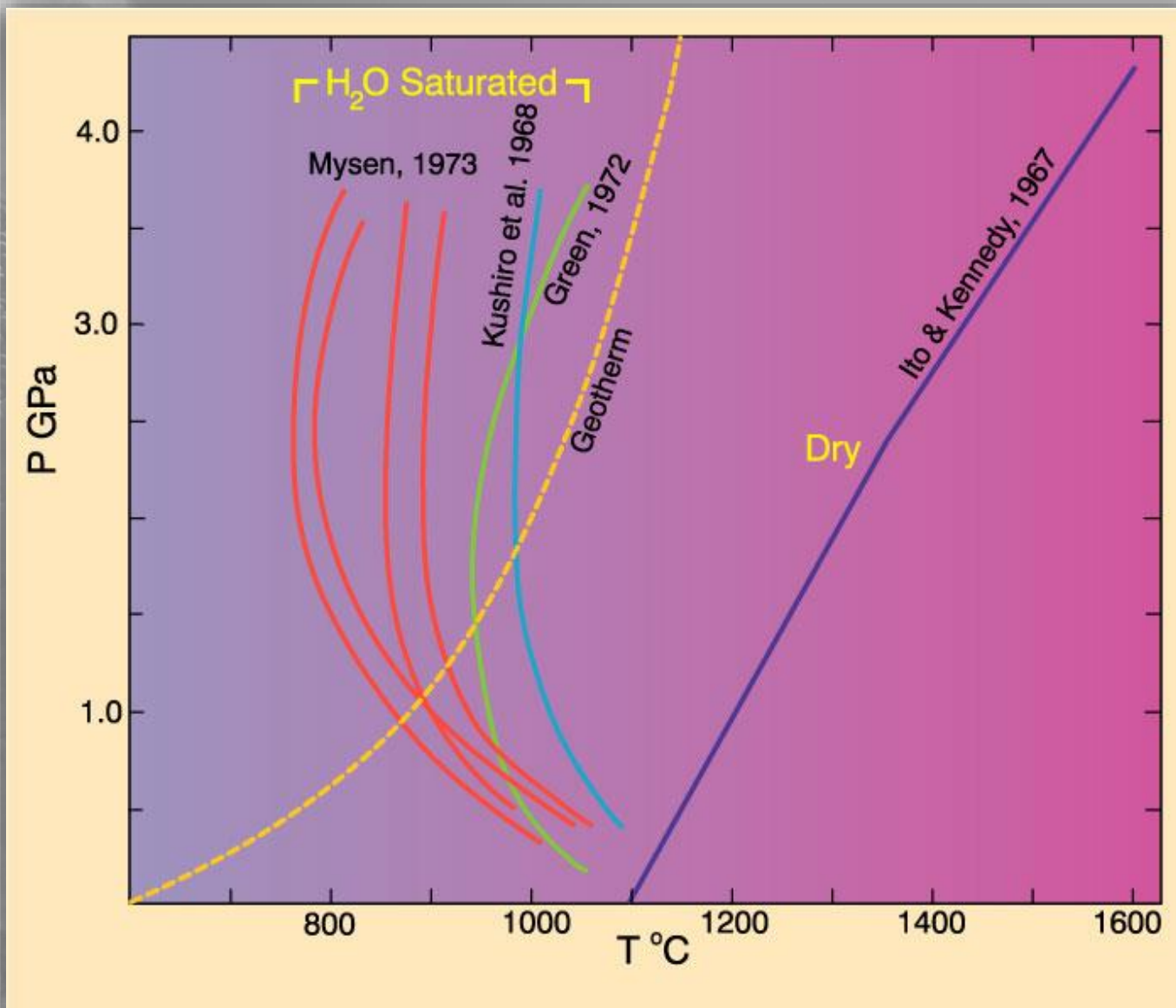
2) Snižavanjem tlaka

- ◆ Adijabatsko uzdizanje plašta bez gubitka topline
- ◆ Taljenje dekompresijom može dati bar 30% taljevine



Slika II-25

3) Dodavanje volatila (naročito H_2O)



Slika II-26

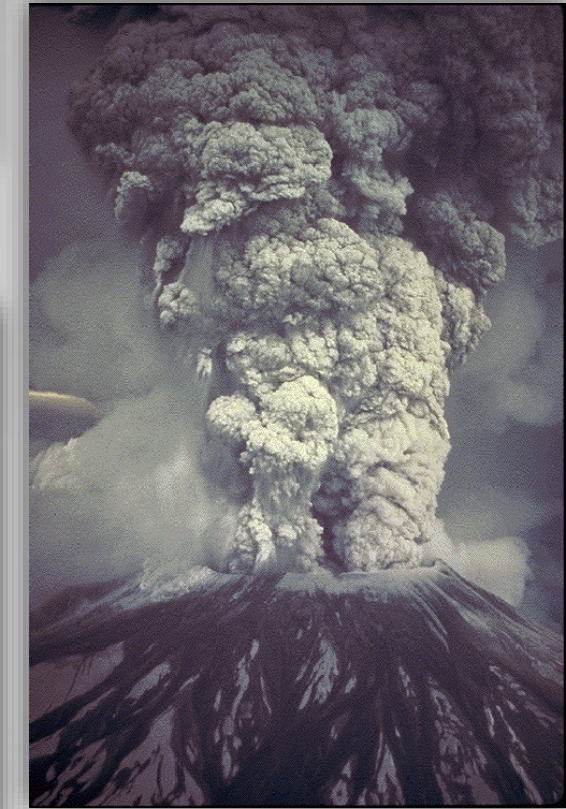
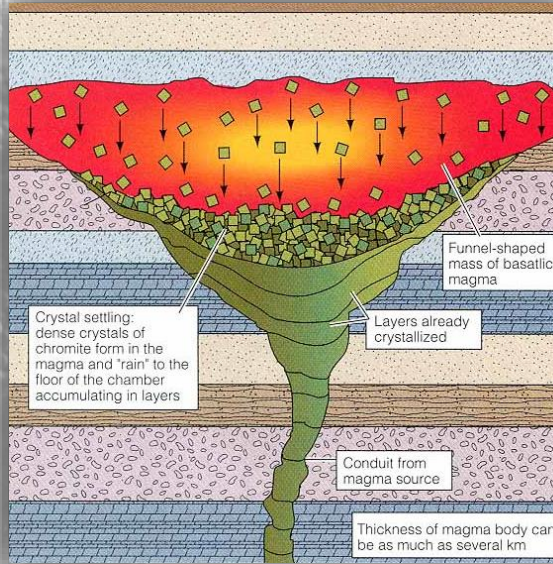
Koje su to geološke sredine koje bi odgovarale navedenim dijagramima?

- Ploče se razdvajaju i plašt se uzdiže na srednjeoceanskim hrptovima (mid-ocean ridges)
 - ◆ Adijabatsko uzdizanje → dekompresijsko taljenje
- Hot spots (Vruće točke) → lokalizirane “kapljice” taljevine
- Mješanje fluida također daje taljevine
 - ◆ Važno u subduksijskim zonama i drugim sredinama

Primarne magme

- Nastale u dubini i nisu značajno izmijenjene
- Kriteriji
 - ◆ Visok Mg# $100\text{Mg}/(\text{Mg}+\text{Fe}) \rightarrow$ primarna (parental) magma
 - ◆ Eksperimentalno lercolitne magme
 $\text{Mg\#} = 66-75$
 $\text{Cr} > 1000 \text{ ppm}$
 $\text{Ni} > 400-500 \text{ ppm}$
višestrukozasićene

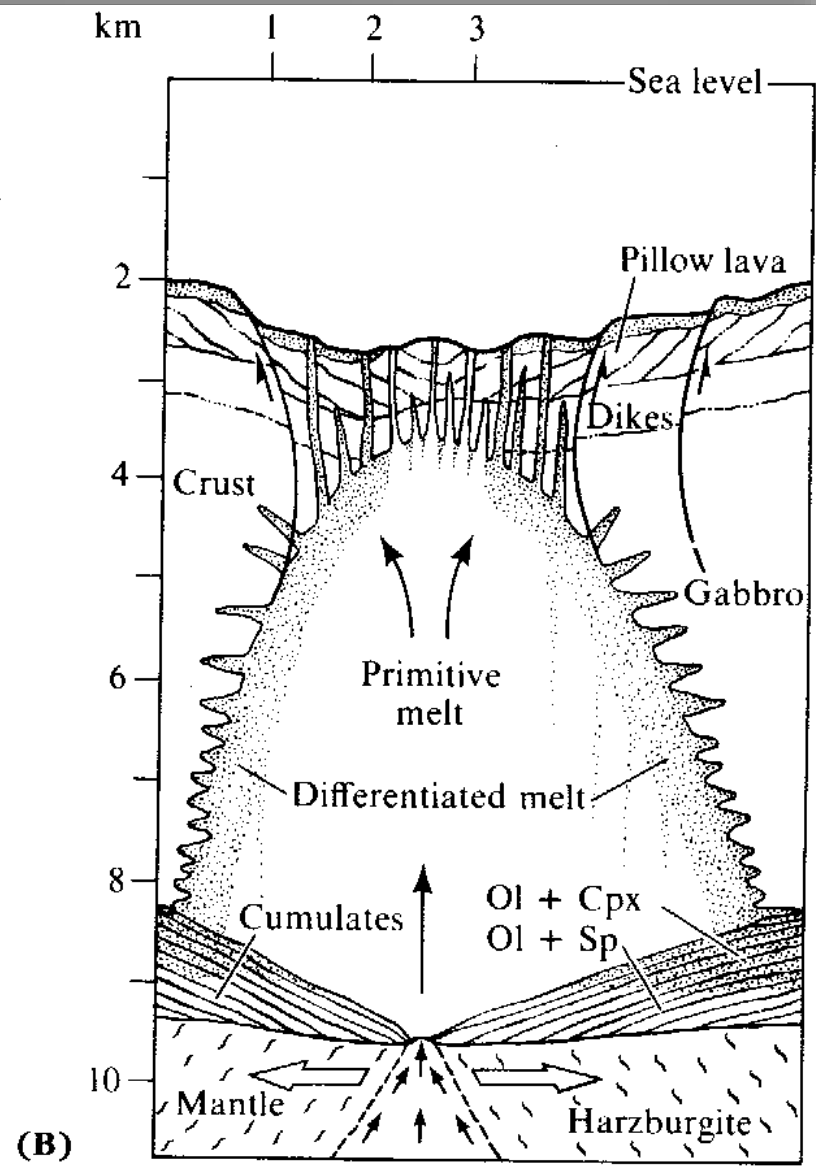
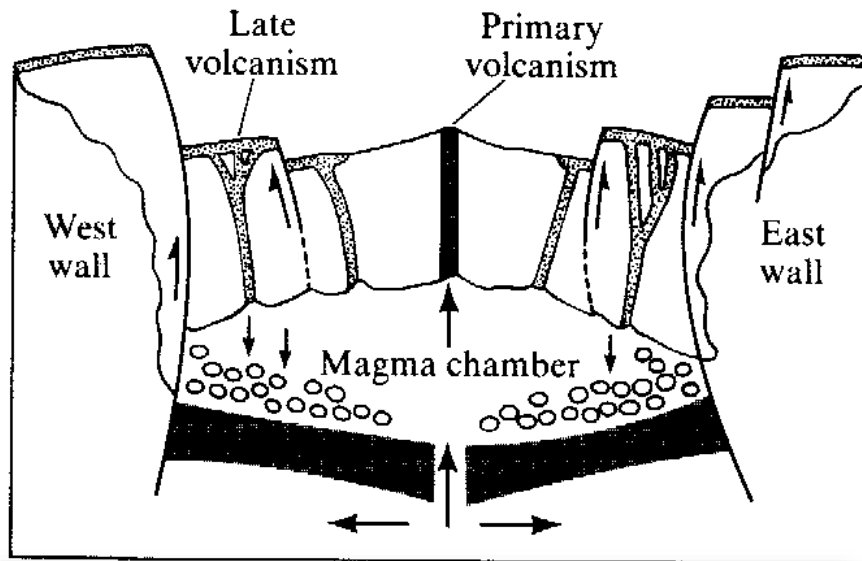
Evolucija magme



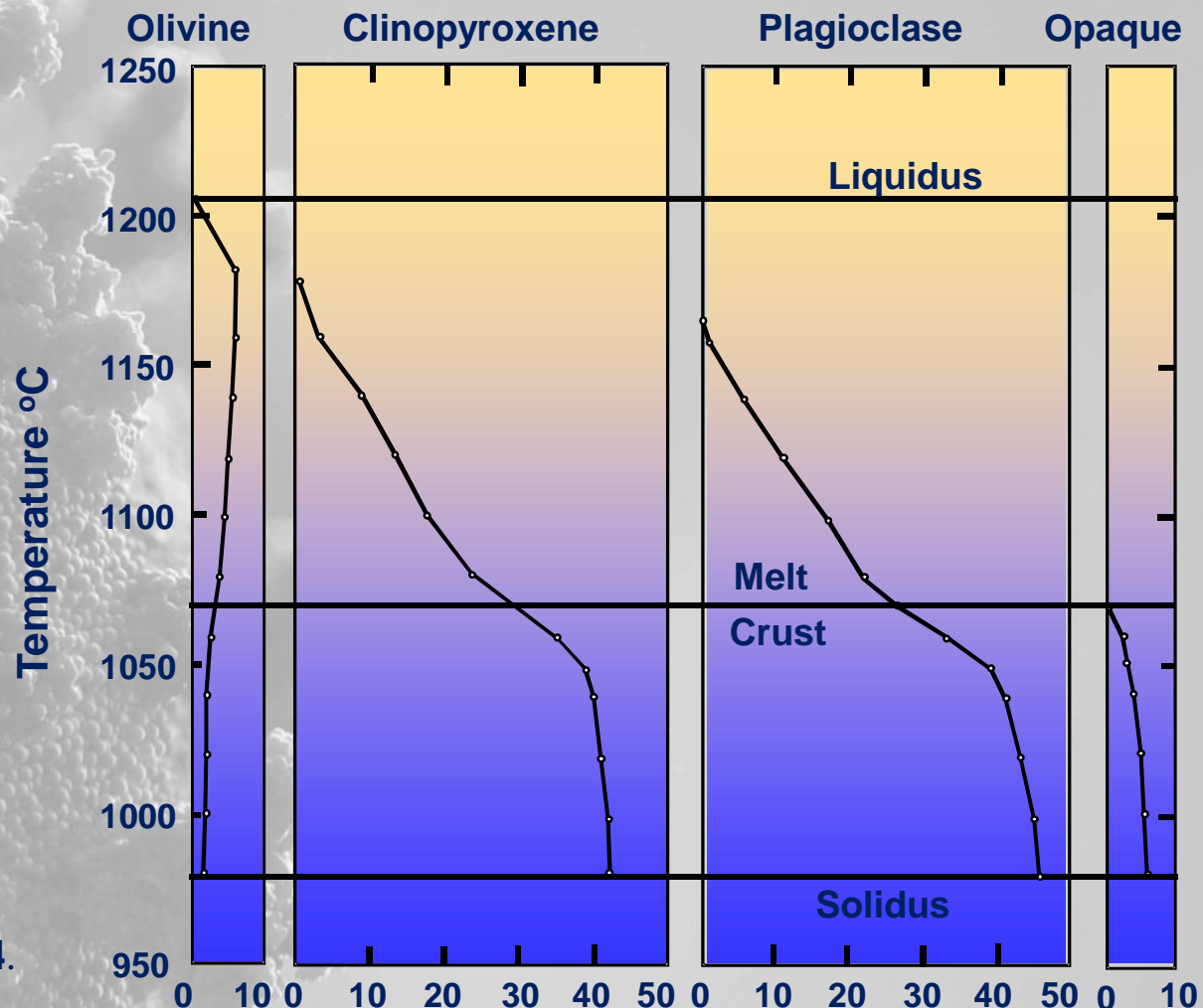
Evolucija magme

- **Kristalizacijska diferencijacija**
 - Bowen - frakcijska kristalizacija, dva niza
 - Zonalna kristalizacija
 - Gravitacijska diferencijacija - stratiformni kompleksi, kumulus, layering
 - Kristalna filtracija
- **Magmatska diferencijacija u likvidnom stanju**
 - Termodifuzija
 - Likvacija
- **Volatilna diferencijacija**
- **Asimilacija**

Kristalizacijska diferencijacija magme

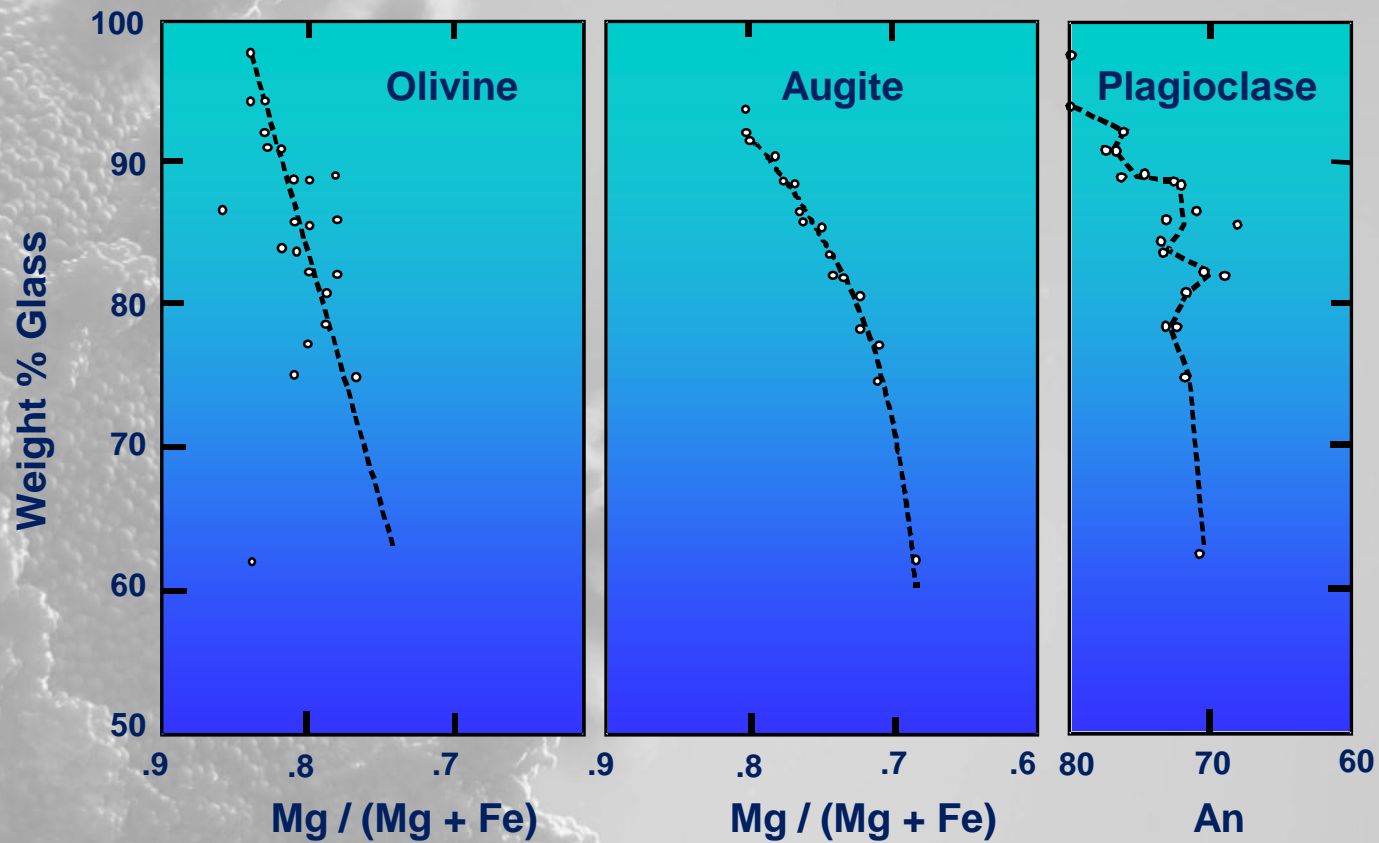


1. Hlađenjem taljevine kristalizira u rasponu temperatura (i tlakova)
2. Nekoliko minerala kristalizira u istom rasponu T i broj minerala raste s padom T
3. Nastanak pojedinih minerala se preklapa
4. Kristalizacija minerala ovisi o T i X taljevine



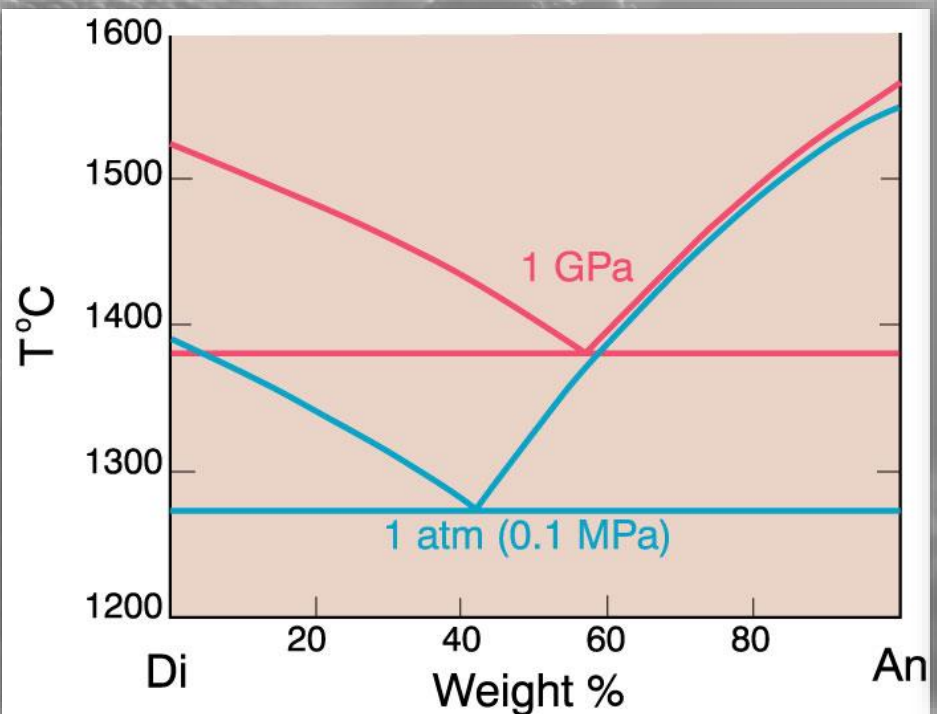
Slika II 33 Wright i Okamura,
(1977) USGS Prof. Paper, 1004.

5. Minerali mješanci mijenjaju svoj sastav tijekom procesa kristalizacije
6. Sastav taljevine je također podložan promjeni tijekom kristalizacije

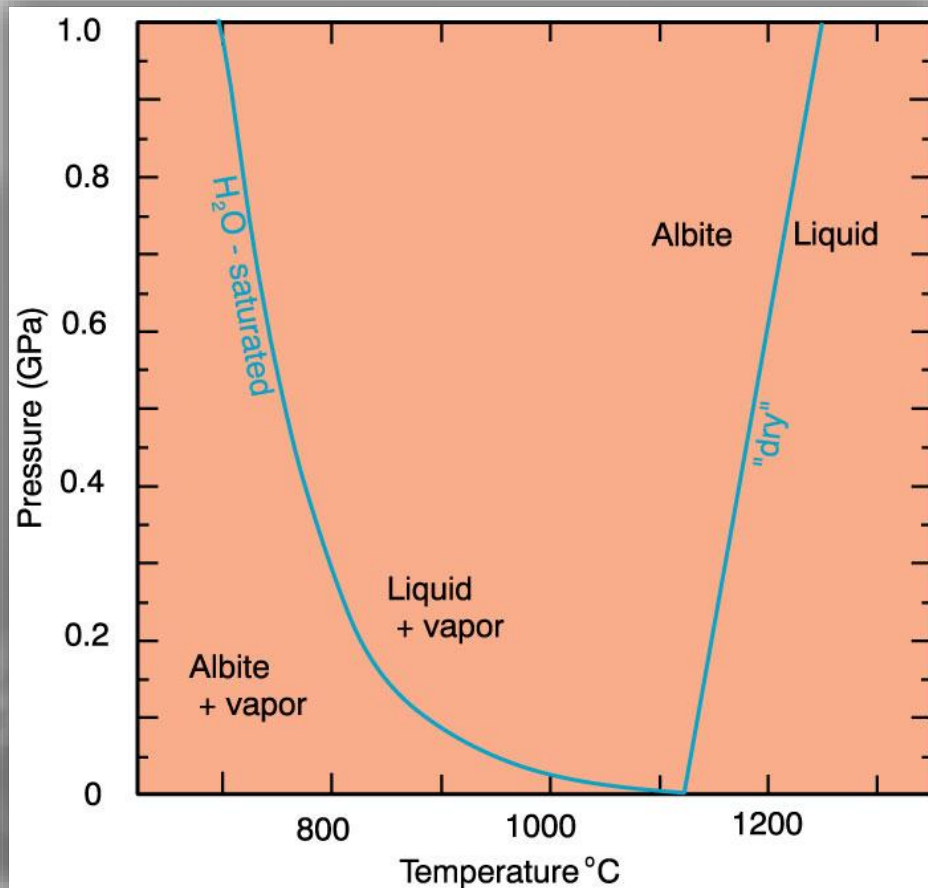


Slika II 34: Wright and Okamura, (1977) USGS Prof. Paper, 1004.

7. Tlak može utjecati na slijed minerala koji se formiraju
8. Vrsta i pritisak fluida također može utjecati na kristalizaciju

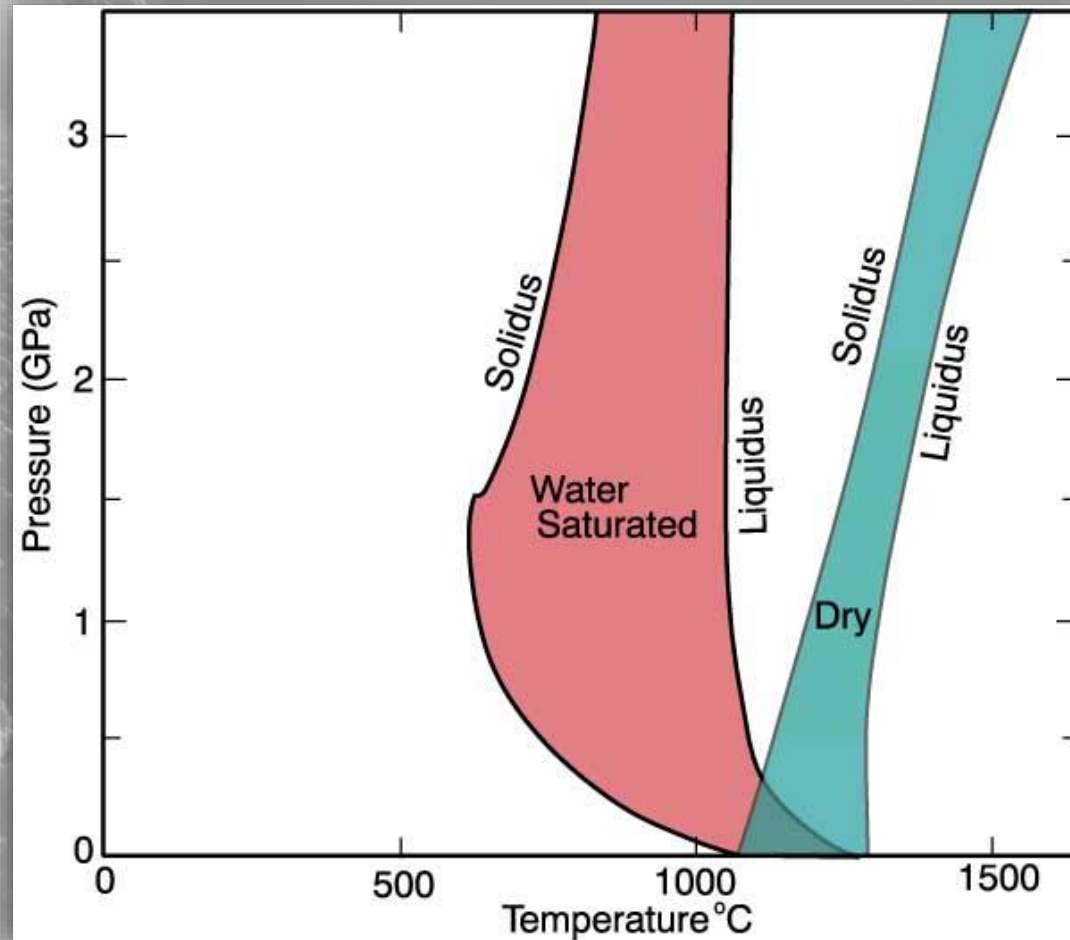


Slika II-35. Efekt litostatskog pritiska na likvidus i eutektički sastav u sustavu Di-An. 1 GPa podaci iz Presnall *et al.* (1978). Contr. Min. Pet., 66, 203-220.



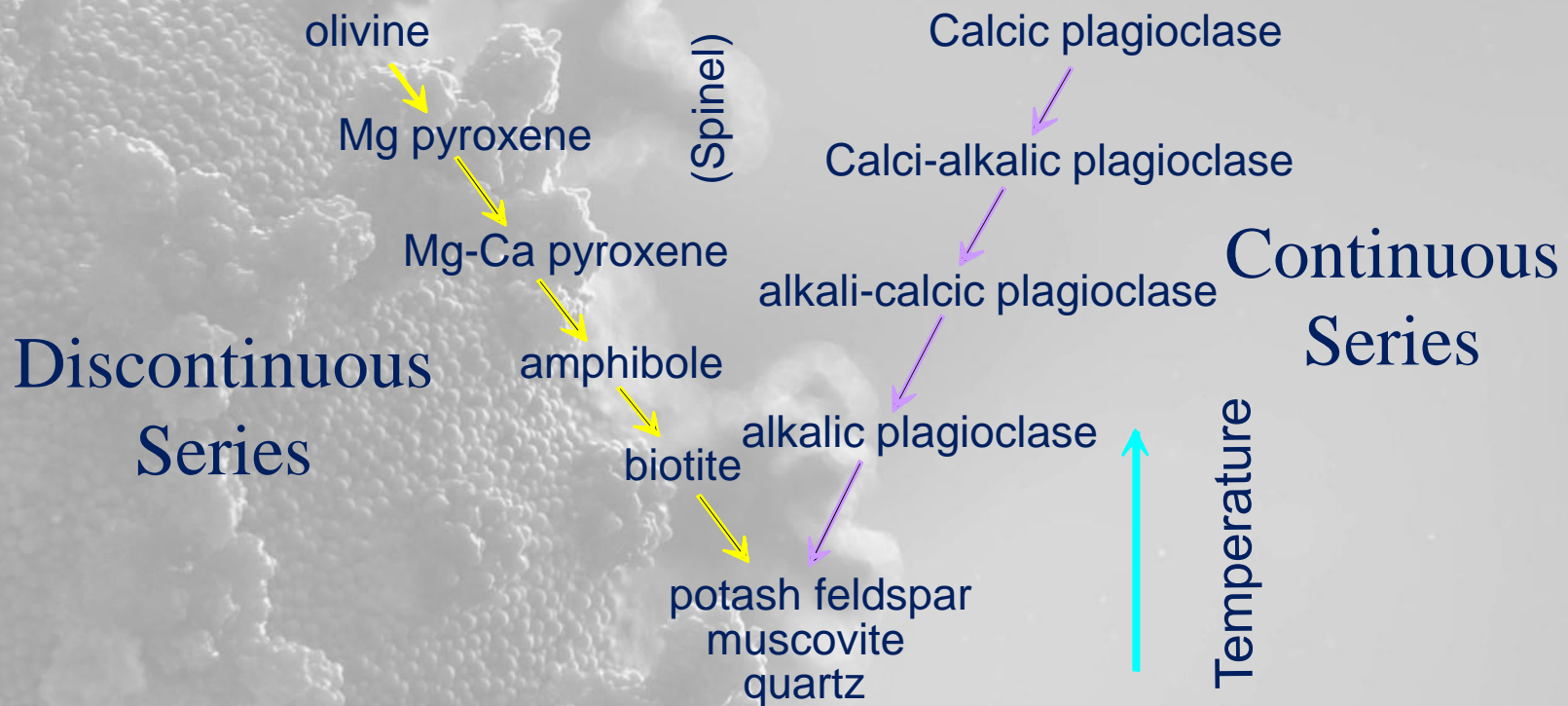
Slika II-36. Efekt zasićenja H_2O na albitsku taljevinu prema eksperimentalnim podacima Burnham and Davis (1974). A J Sci 274, 902-940. Krivulja suhe taljevine je prema Boyd and England (1963). JGR 68, 311-323.

Efekt vode na kristalizaciju



Slika II-36b. Intervali taljenja suhog i vodom zasićenog gabra.
Prema Lambert and Wyllie (1972). J. Geol., 80, 693-708.

Kristalizacijska diferencijacija Bowen-ova reakcijska serija (niz)



Gibbs-ovo pravilo faza

$$P + F = C + 2$$

$F = \#$ stupnjeva slobode (degrees of freedom)

Broj parametara koji mora biti specificiran i koji određuje sustav

$P = \#$ faza

Faze su mehanički odjeljivi konstituenti sustava

$C =$ minimalni $\#$ komponenata (kemijskih konstituenata koji moraju biti prisutni za definiranje svih faza)

$2 = 2$ parametra

Obično = temperatura i tlak za potrebe geologa

1 – komponentni sustav

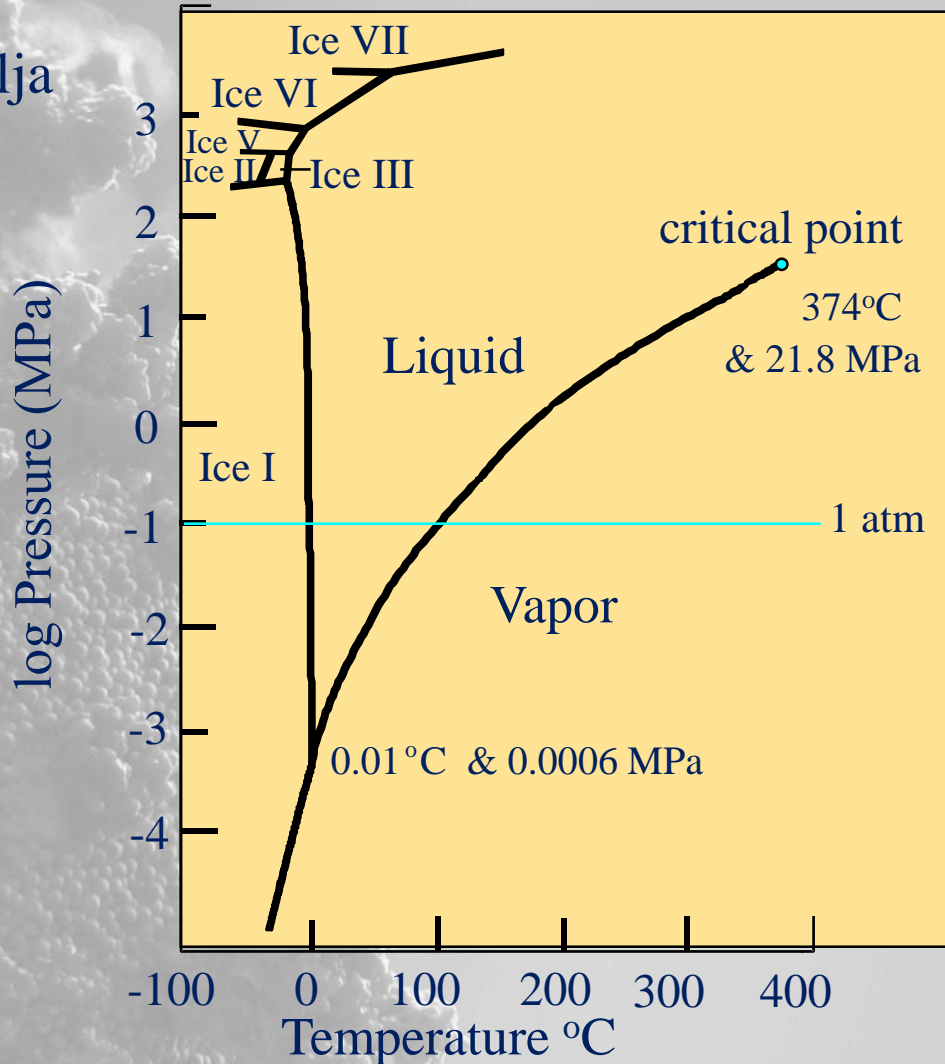
H_2O

Invarijantna točka

Univarijantna krivulja

Divarijantno polje

$P + F = C + 2$



Prema: Bridgman
(1911, *Proc. Amer.
Acad. Arts and Sci.*, **5**,
441-513; 1936, *J.
Chem. Phys.*, **3**, 597-
605; 1937, *J. Chem.
Phys.*, **5**, 964-966.

Osnovni pojmovi za daljnja razmatranja:

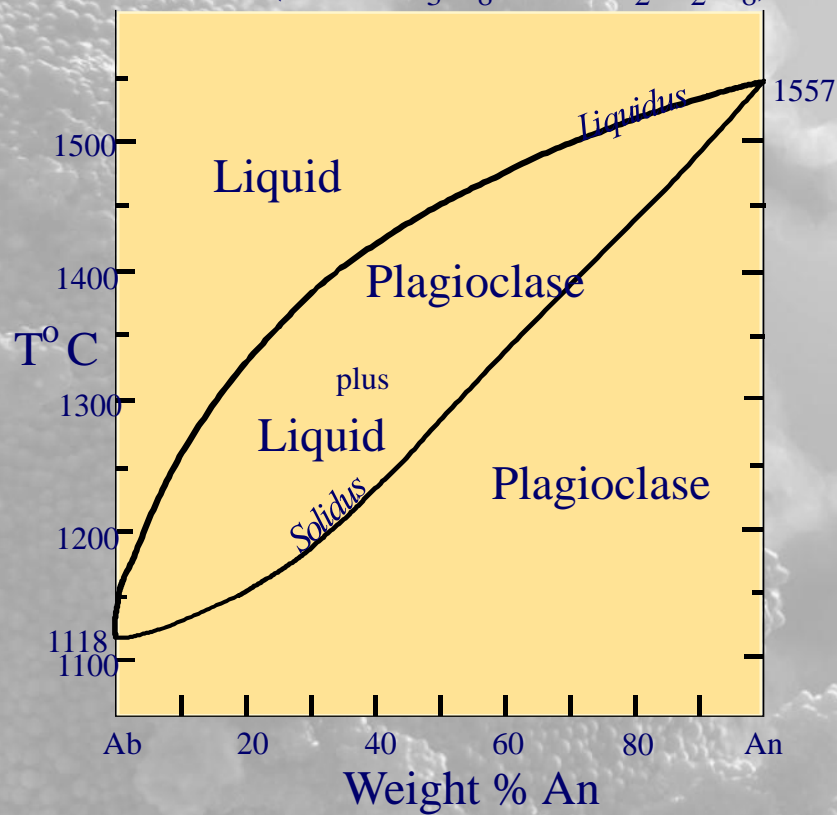
- **Eutektik** - zajednička točka kristalizacije, najniža T , kristalizacija do posljednje kapi taljevine
- **Likvidus** - linija ili krivulja na faznom dijagramu koja predstavlja početak kristalizacije određenog minerala (faze)
- **Solidus** - linija ili krivulja na faznom dijagramu koja pokazuje najnižu temperaturu na kojoj je taljevina stabilna za dani kemijski sastav
- **Peritektik** - točka na faznom dijagramu koja ukazuje na inkongruentno ponašanje taljevine (krutina + taljevina drugačijeg sastava, postoji međuspoj)
- **Kotektička linija** - linija presjeka dvije likvidus površine na ternarnom faznom dijagramu

2 – komponentni sustav

A. Sustav minerala mješanaca (“cigara”) Complete Solid Solution

1. Plagioklas Ab-An

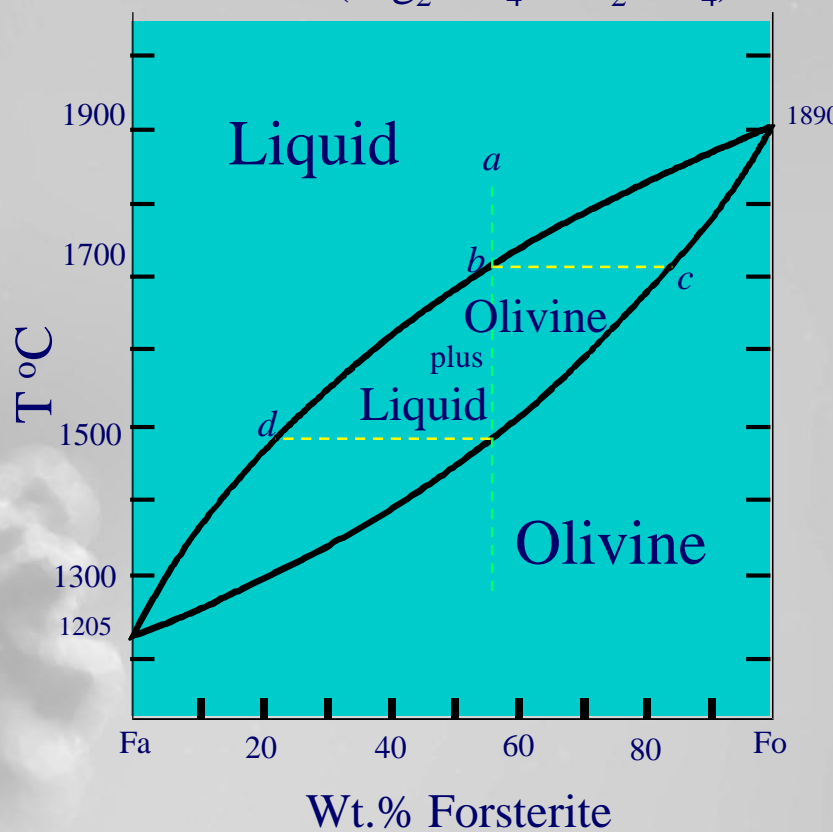
($\text{NaAlSi}_3\text{O}_8$ - $\text{CaAl}_2\text{Si}_2\text{O}_8$)



Izobarni T-X fazni dijagram pri atmosferskom tlaku (prema Bowen 1913, Amer. J. Sci., 35, 577-599).

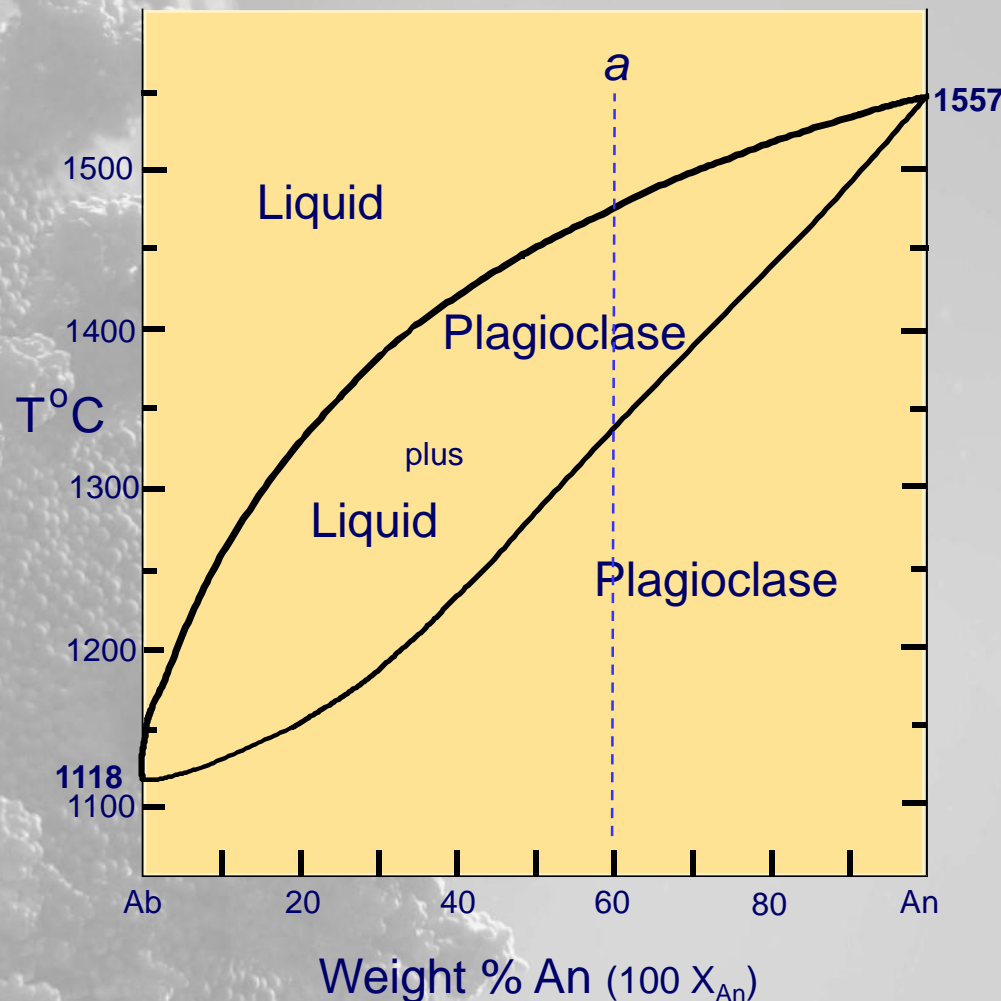
2. Olivin Fo - Fa

(Mg_2SiO_4 - Fe_2SiO_4)



Izobarni T-X fazni dijagram pri atmosferskom tlaku (Prema Bowen and Shairer (1932), Amer. J. Sci. 5th Ser., 24, 177-213).

Sastav taljevine a = An₆₀

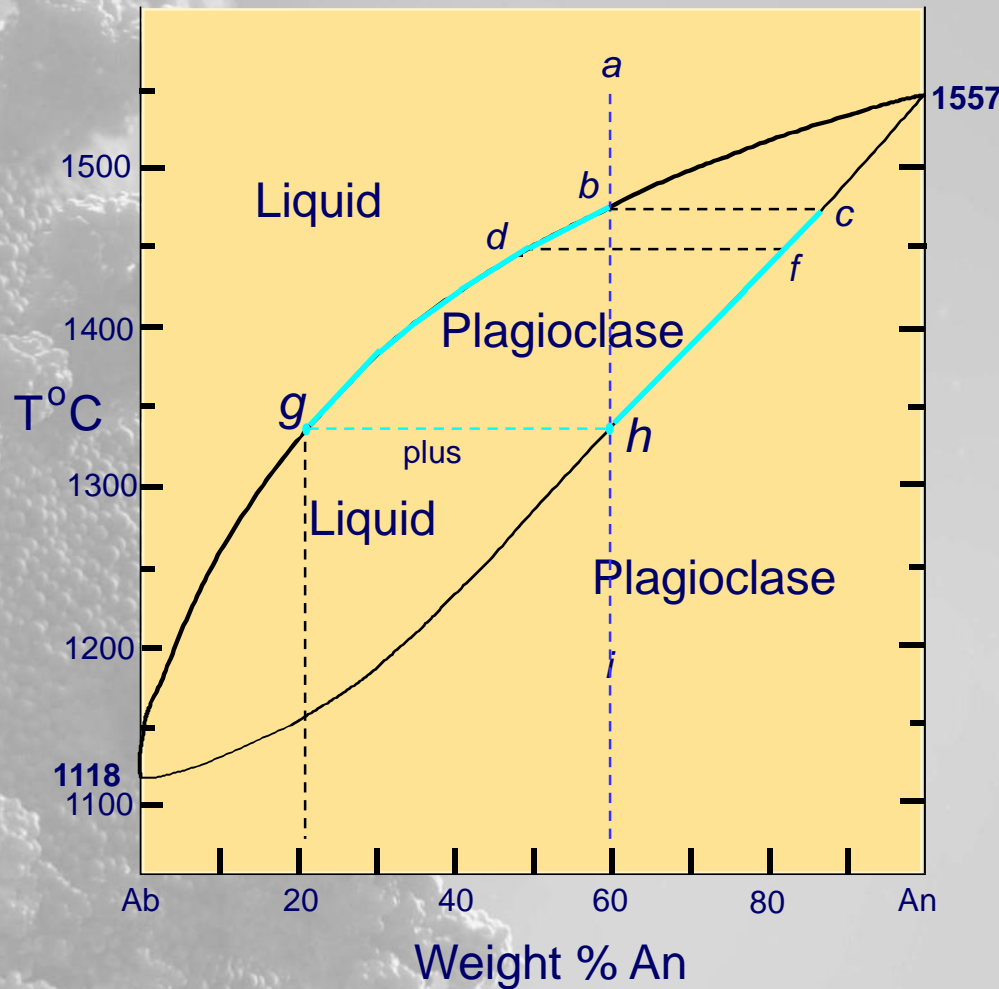
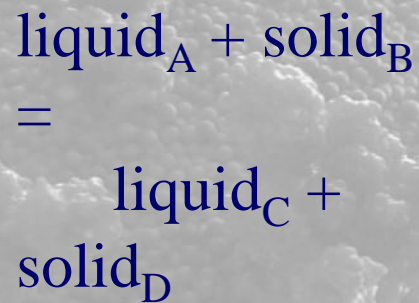


Na 1450°C , taljevina b (d, g) i plagioklas c (f, h) koegzistiraju u ravnoteži

Kada je $X_{\text{plag}} \rightarrow h$, tada $X_{\text{plag}} = X_{\text{bulk}}$ i količina taljevine $\rightarrow 0$

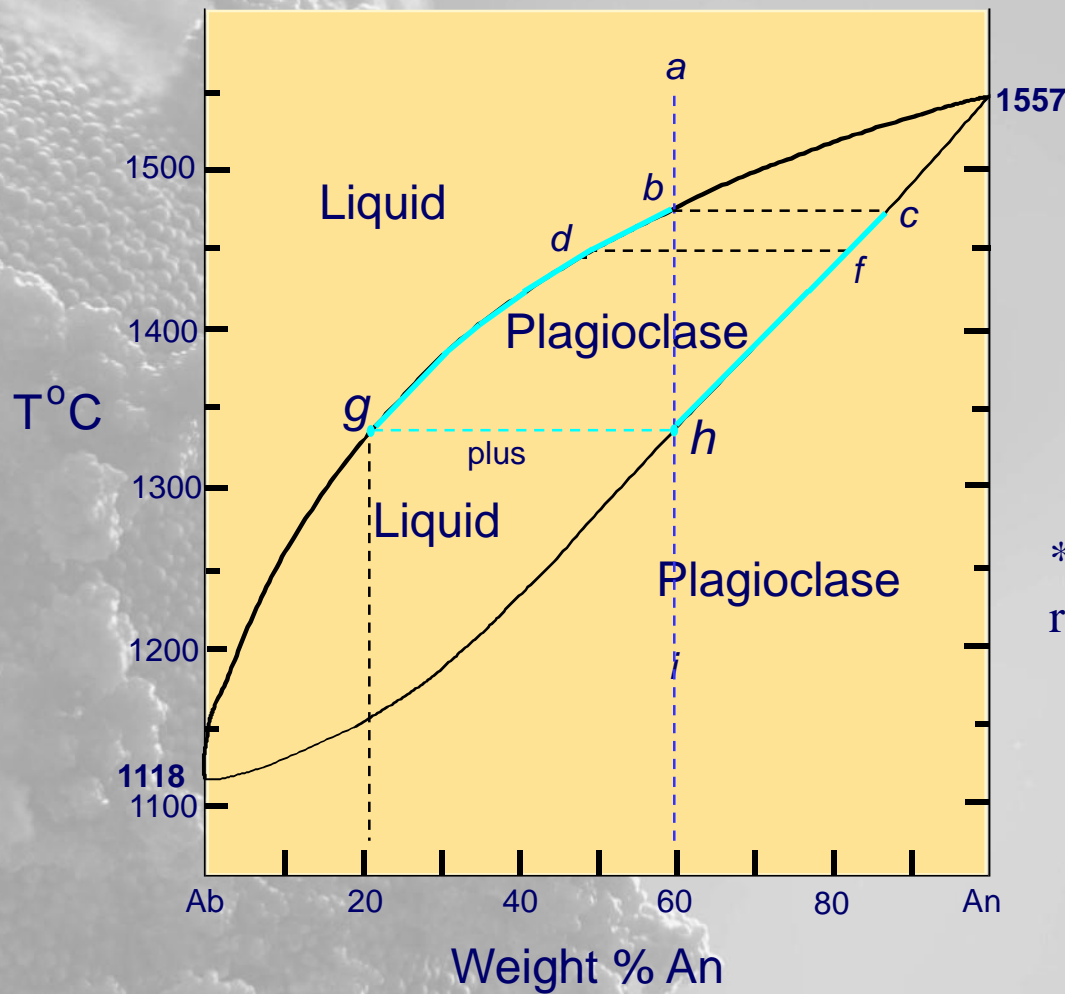
Zbog toga g je sastav zadnje taljevine koja kristalizira pri 1340°C za ukupan sastav $X = 0.60$

Kontinuirana reakcija:



Bitno:

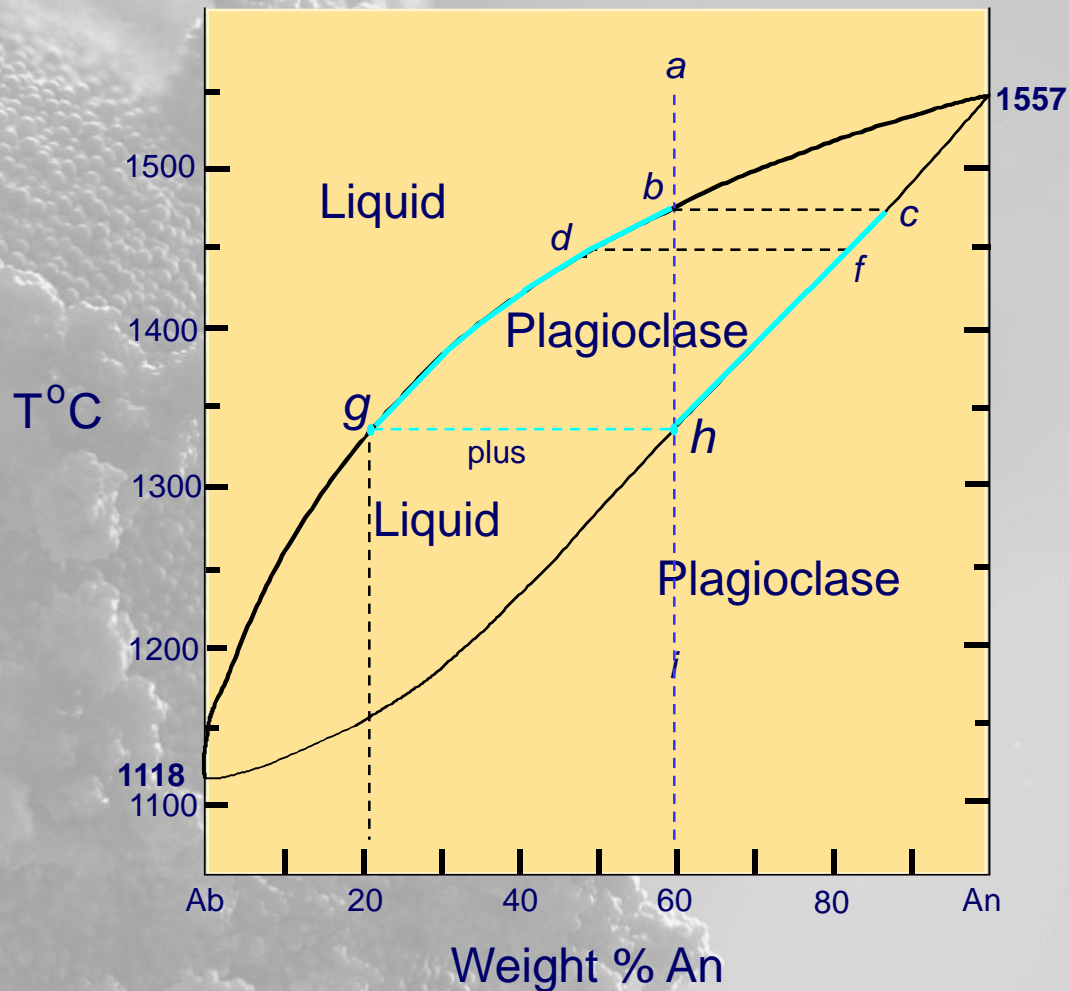
1. Taljevina kristalizira u T rasponu od 135°C *
2. Sastav taljevine se mjenja od b do g
3. Sastav krutine se mjenja od c do h



* Stvarni temperaturni raspon ovisi o sastavu

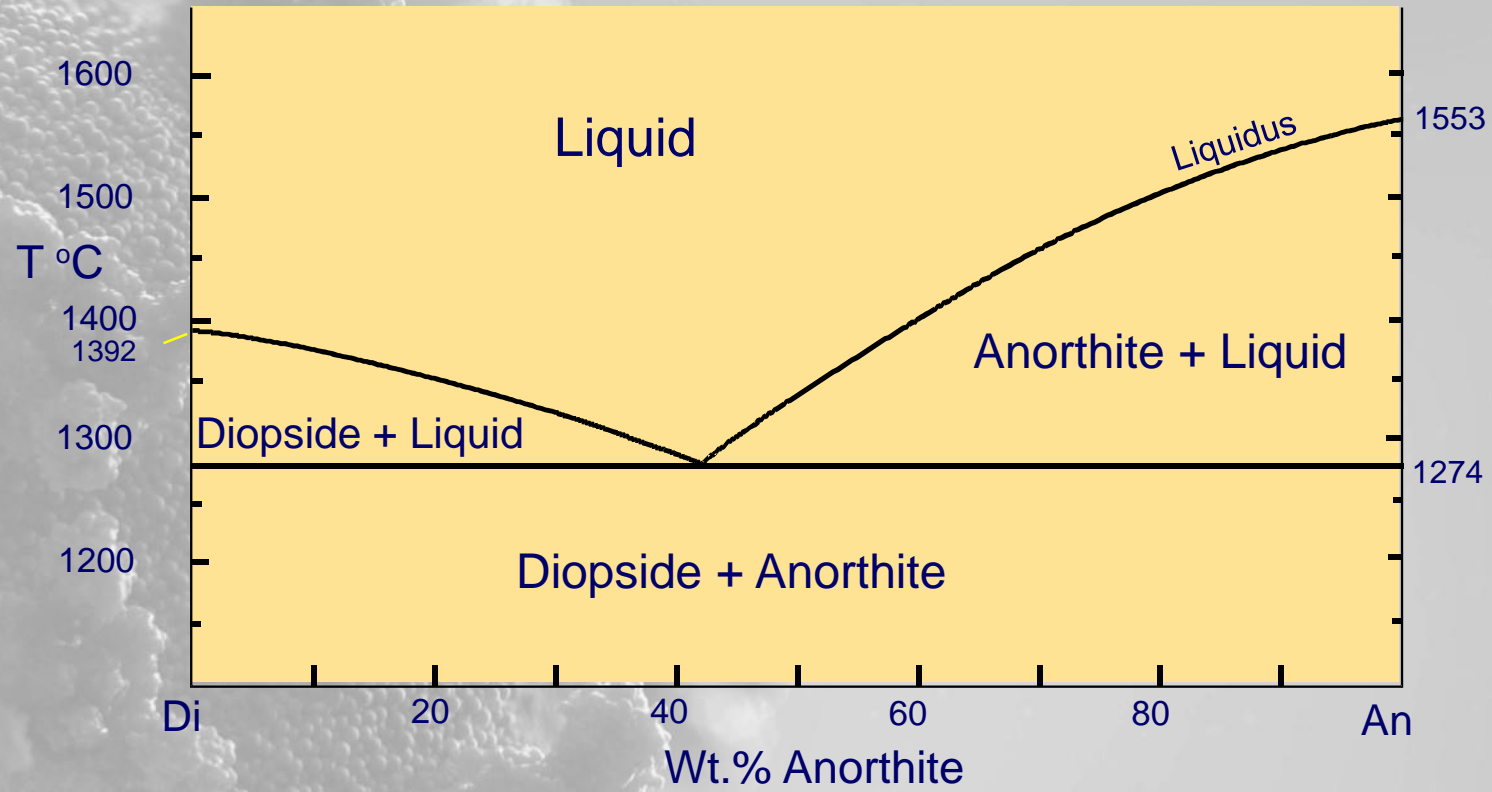
Ravnotežno taljenje idu u točno suprotnom smjeru

- Zagrijavanjem An_{60} prva taljevina g pri An_{20} i 1340°C
- Dalnjim zagrijavanjem: taljevina i plagioklas mjenjaju X
- Zadnji plagioklas koji se tali je c (An_{87}) pri 1475°C



2-komponentni sustav s eutektikom

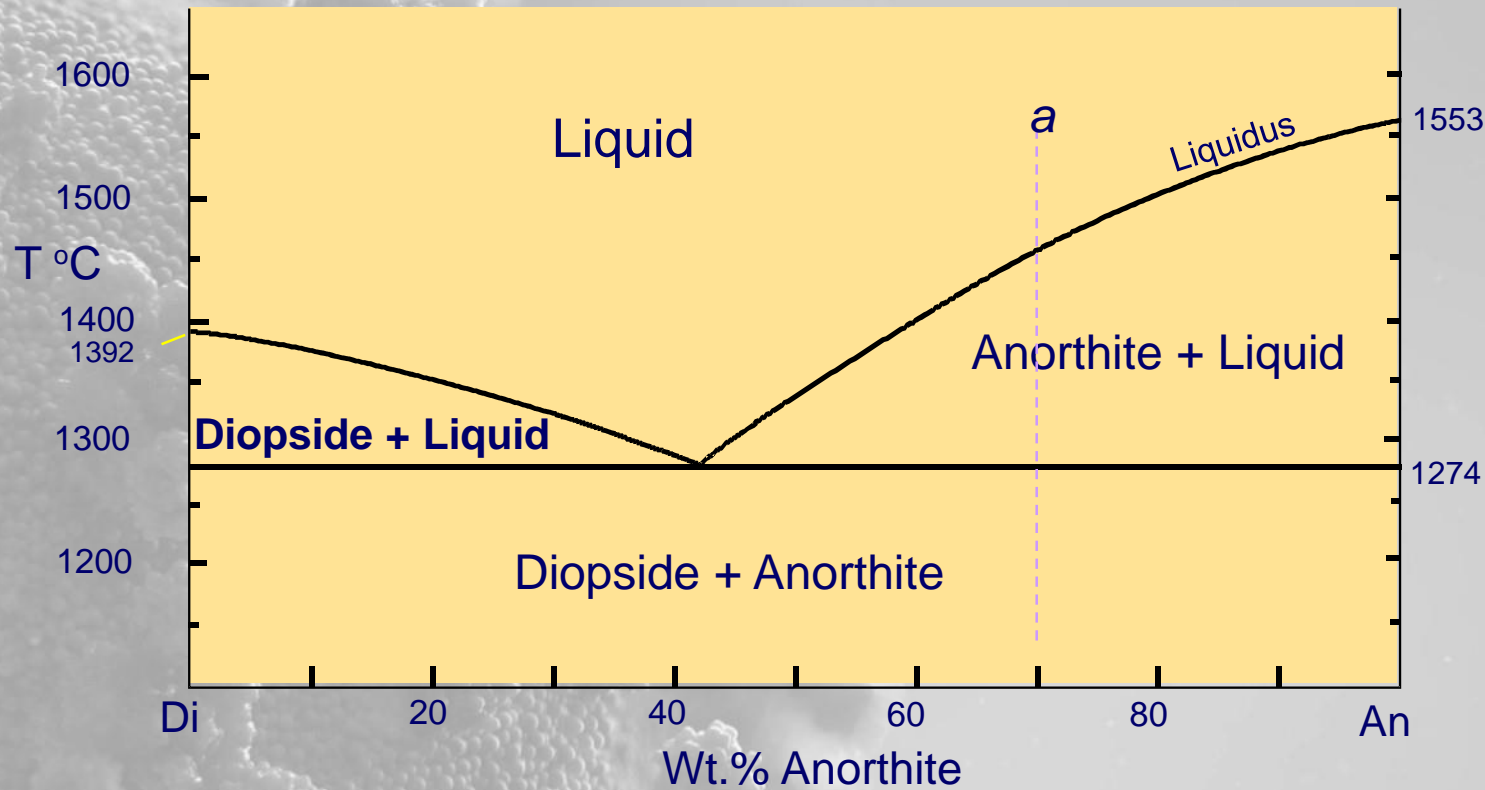
B. Diopsid - Anortit



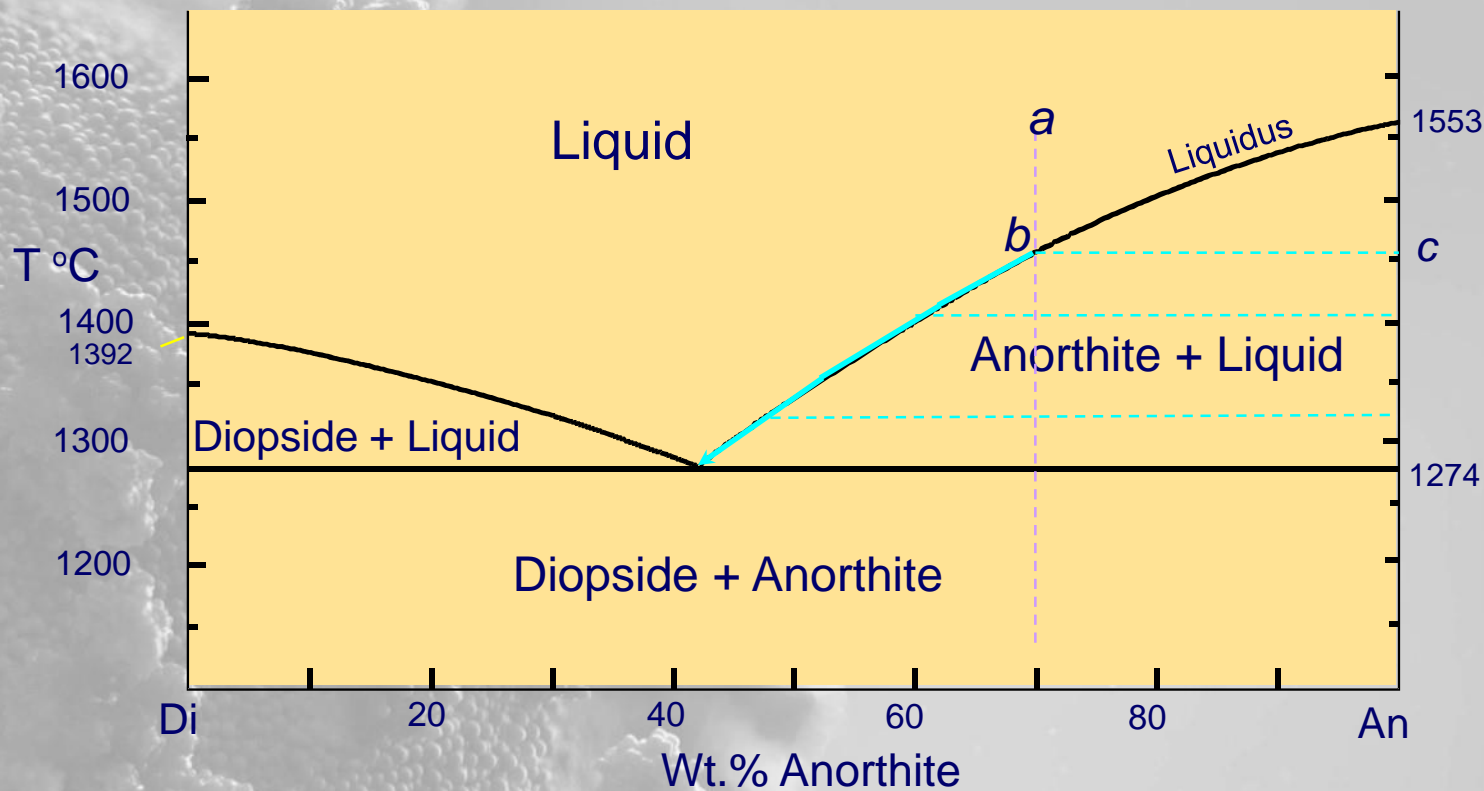
Izobarni T-X fazni dijagram pri atmosferskom tlaku (Prema Bowen (1915), Amer. J. Sci. 40, 161-185.

Hlađenje sastava a:

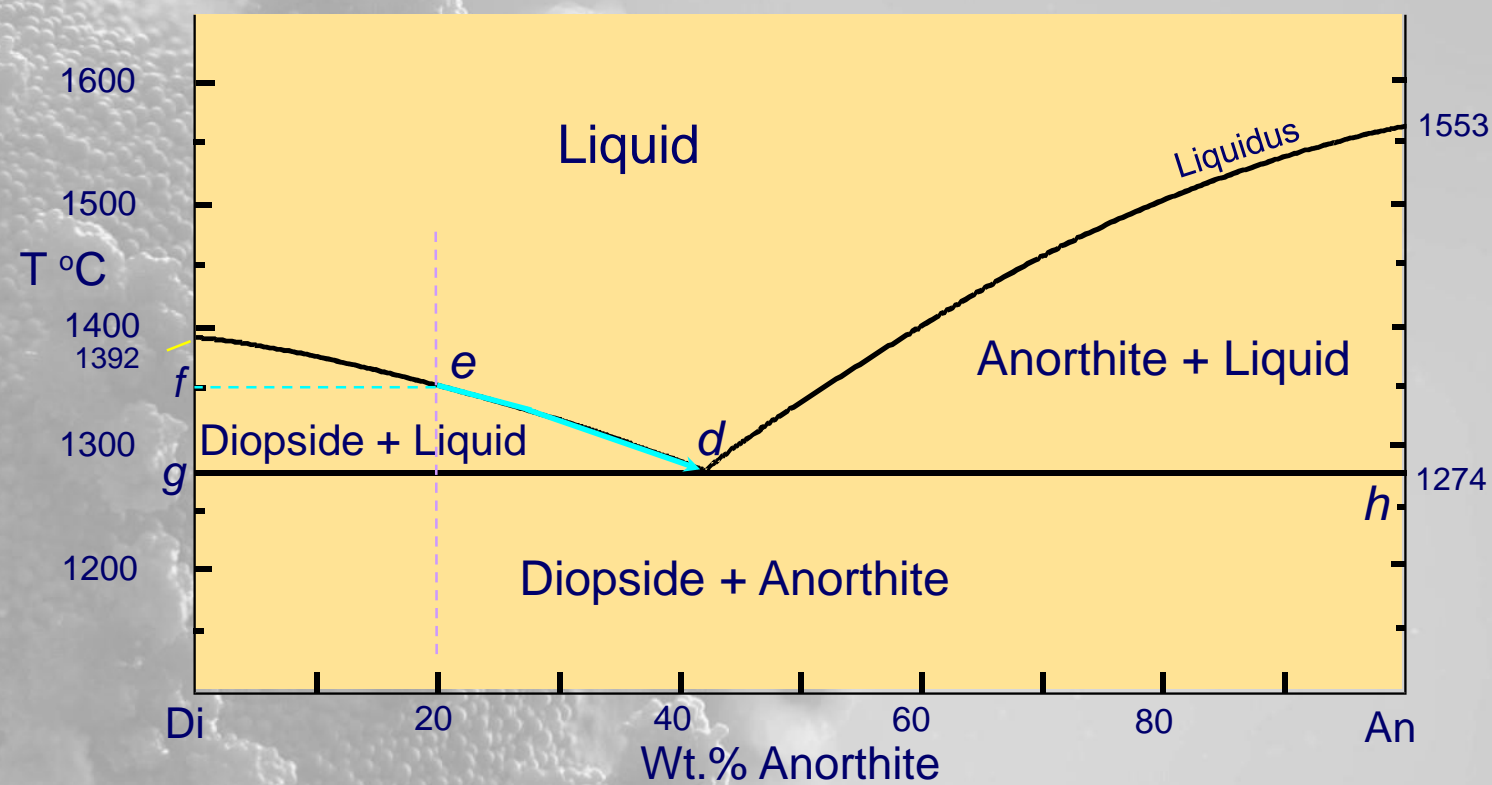
Ukupni sastav = An₇₀



- Kontinuirano hlađenje kako se X_{liq} mjenja duž likvidusa
- Kontinuirana reakcija: $\text{liq}_A \rightarrow \text{anortit} + \text{liq}_B$

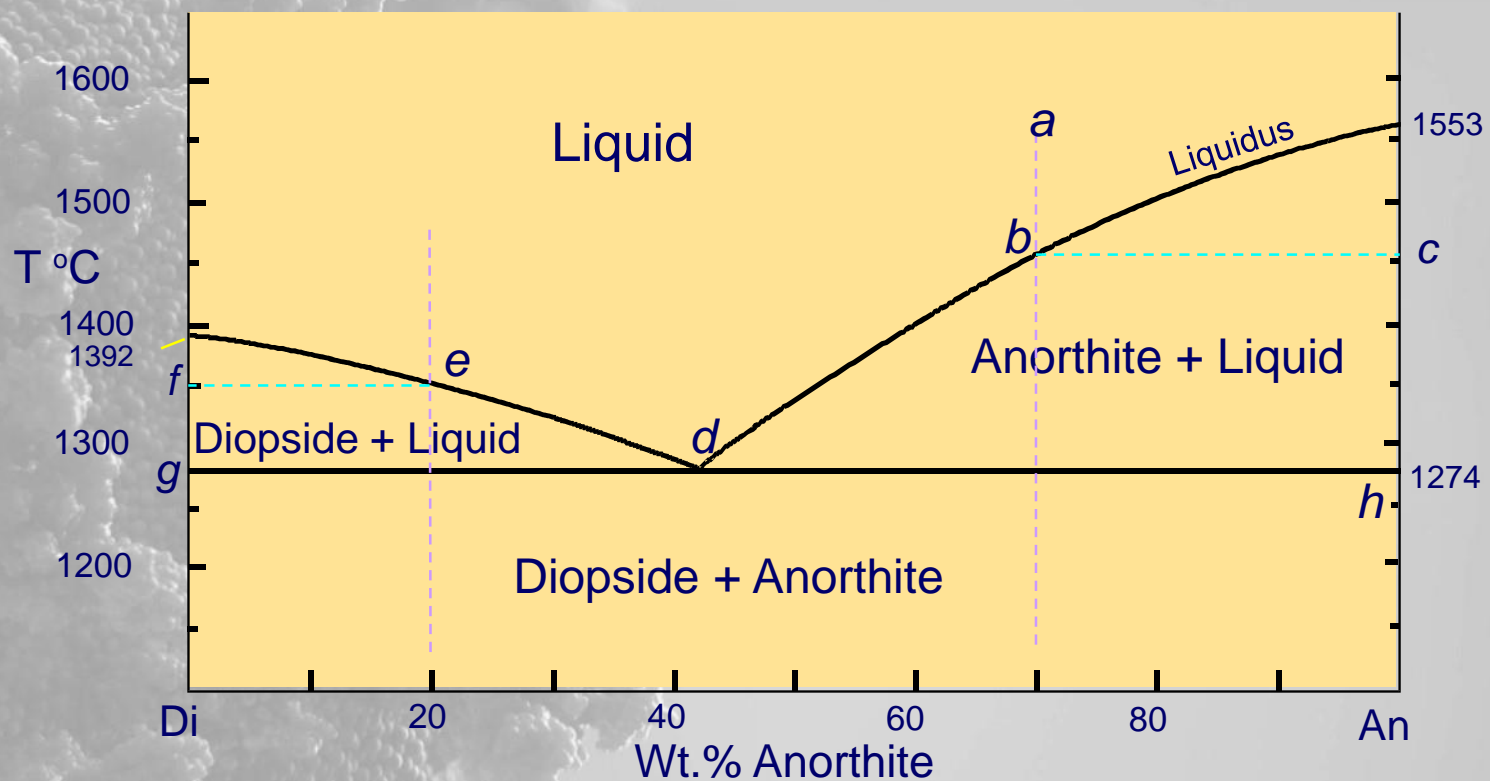


S lijeve strane eutektika slična situacija



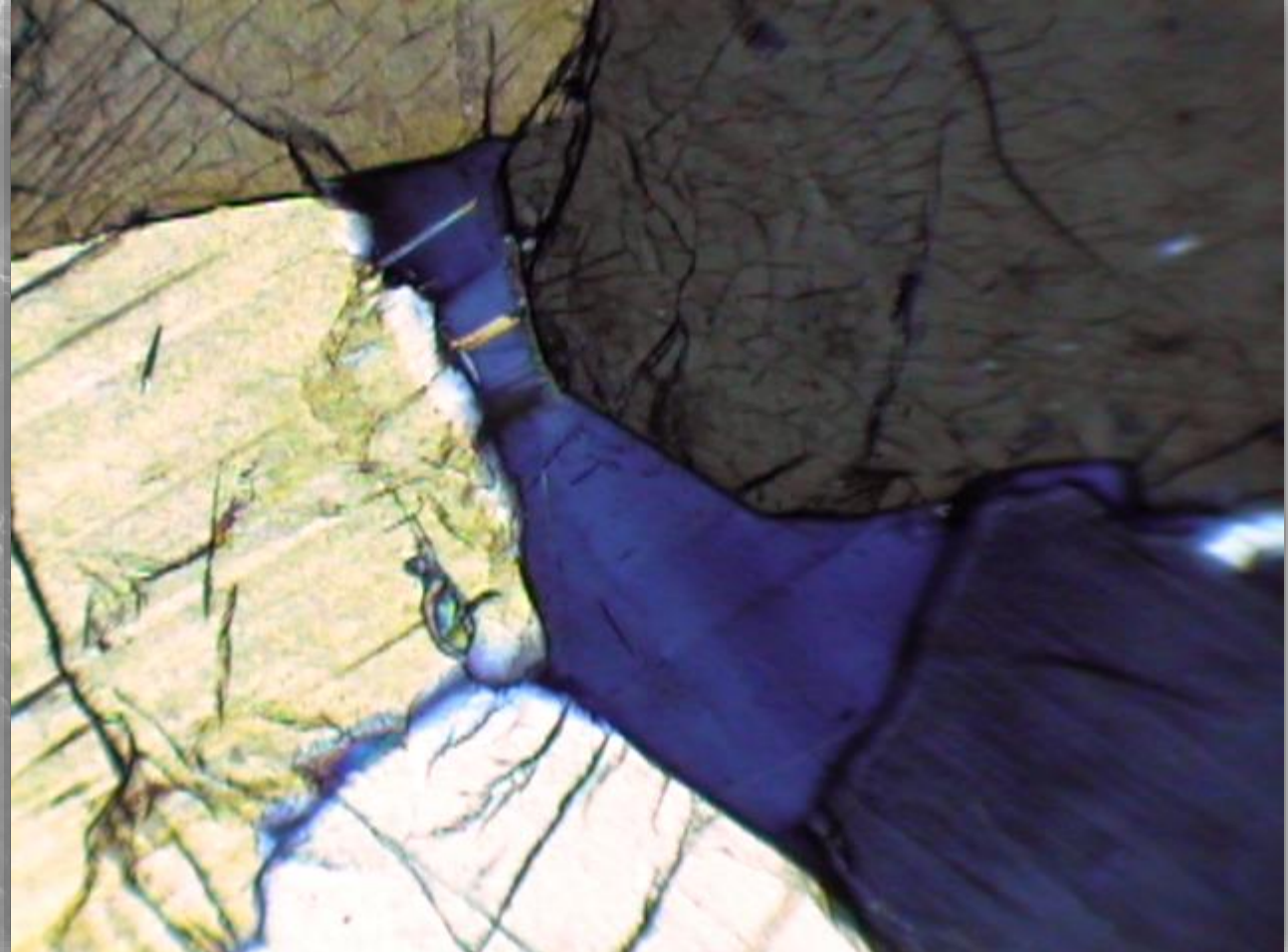
Bitno:

1. Taljevina kristalizira duž T raspona $\sim 280^{\circ}\text{C}$
2. Slijed minerala nastaje duž tog intervala
 - Broj minerala se povećava kako pada T
3. Mineral koji će kristalizirati ovisi o T
 - Slijed se mijenja s ukupnim sastavom



Augit nastaje prije plagioklasa

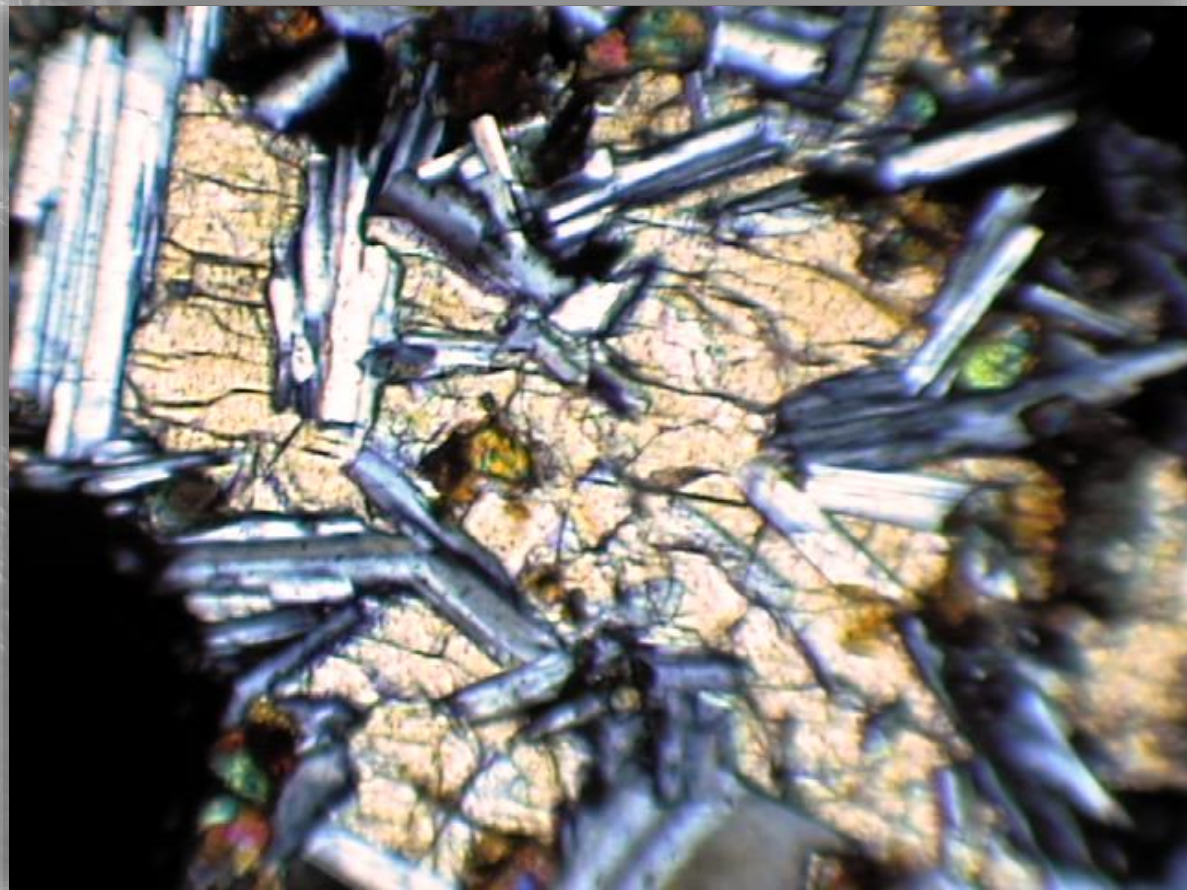
Gabro (Stillwater
Complex, Montana)



Nastaje s lijeve strane eutektika

Plagioklas nastaje prije augita

Ofitska struktura

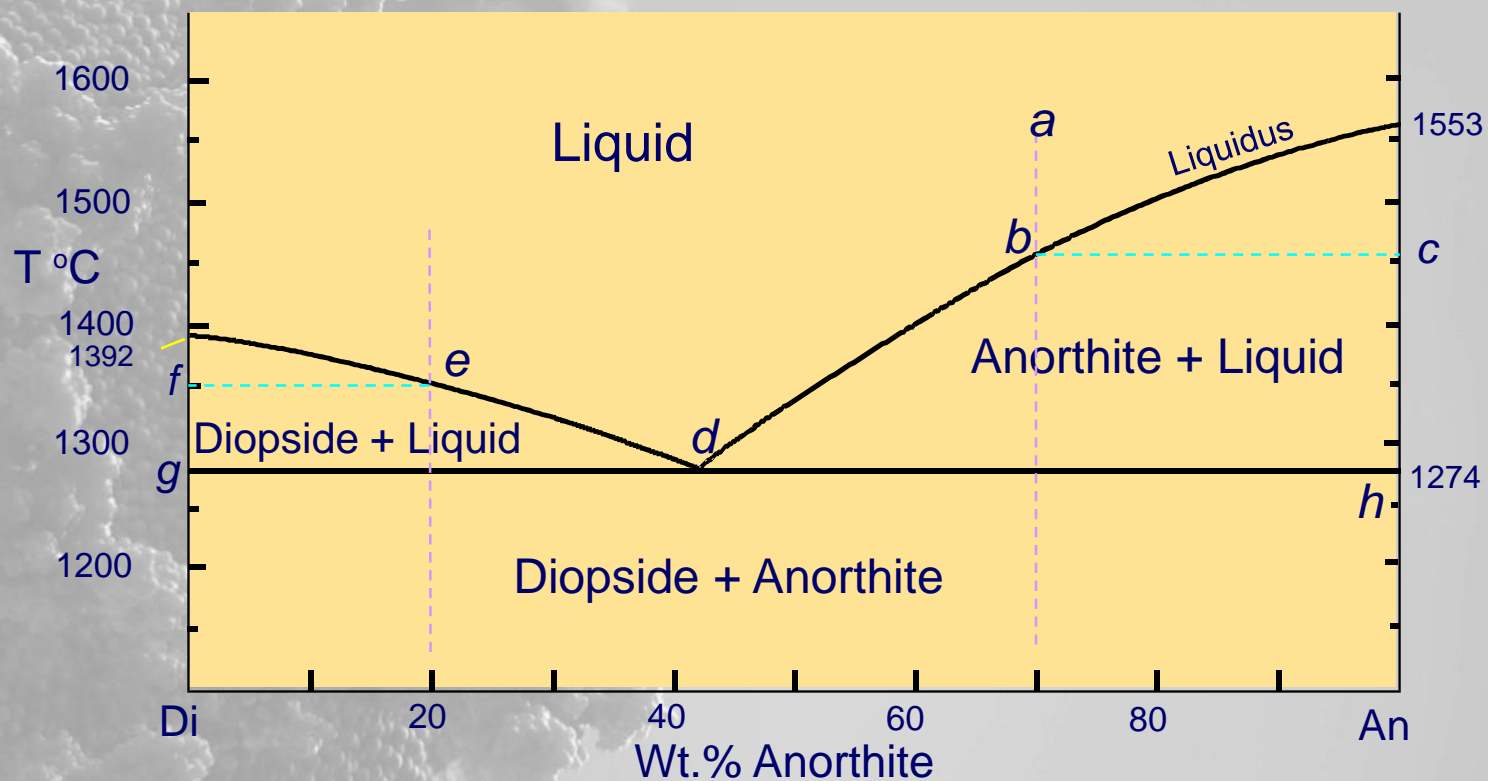


Dijabaz

Nastaje na desnoj strani od eutektika

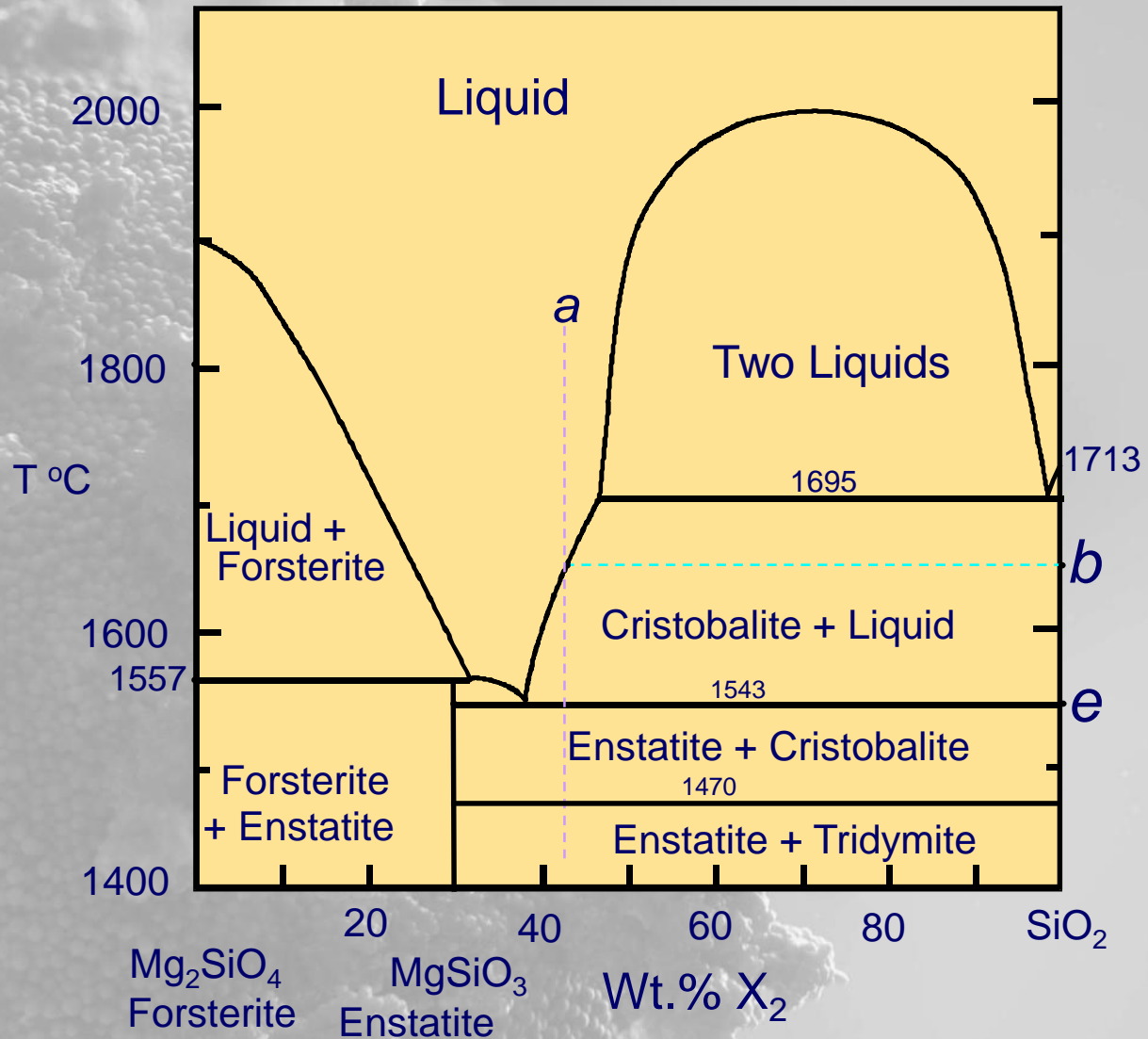
Bitno:

- Zadnja taljevina koja kristalizira u binarnom eutektiku je sastava koji ima eutektik
- Ravnotežno taljenje je suprotan proces ravnotežnoj kristalizaciji
- Zbog toga prva taljevina bilo kojeg sastava smjese Di i An mora također biti eutektičkog sastava



C. Binarni sustav s peritektikom

Tri faze enstatit = forsterit + SiO_2



Ukupan sastav a (42 %)
Pri a
Na 1625 °C
Kristobalit T = b

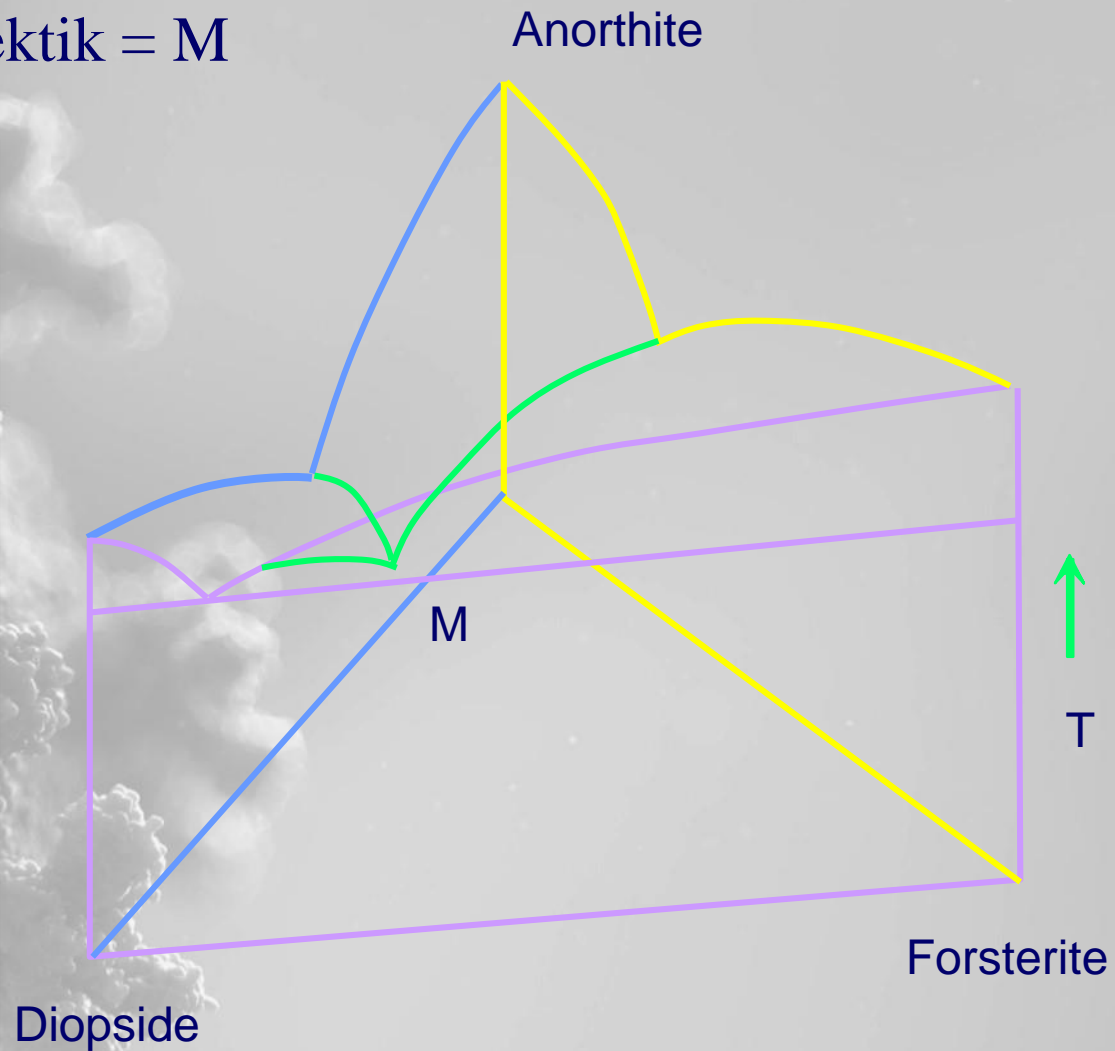
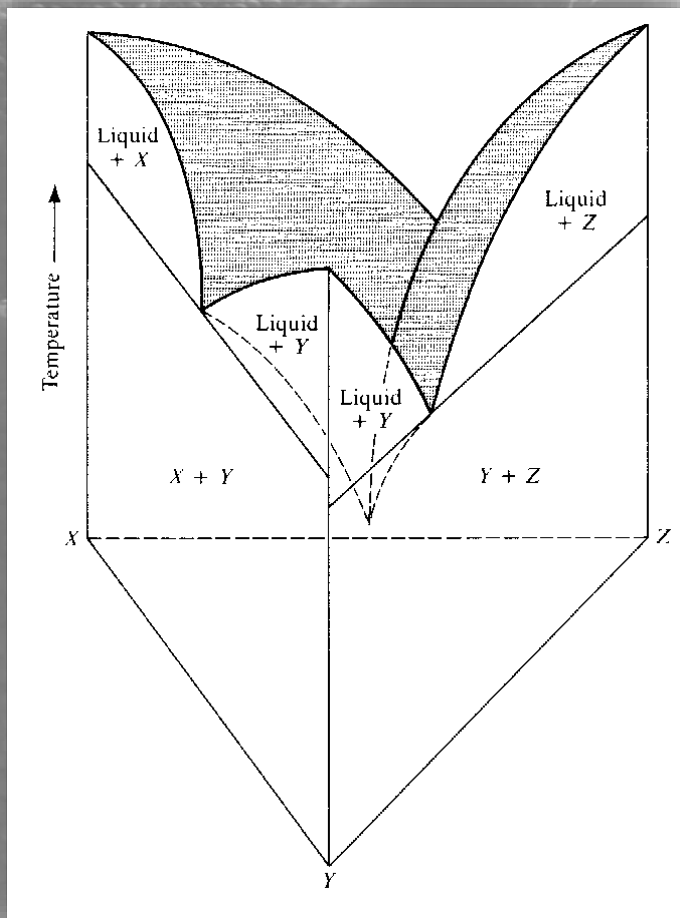
Slika III-12. Izobarni T-X fazni dijagram u sustavu $\text{Fo}-\text{SiO}_2$ pri 0.1 MPa. Prema Bowen and Anderson (1914) and Grieg (1927). Amer. J. Sci.

Ternarni sustavi Di - An - Fo

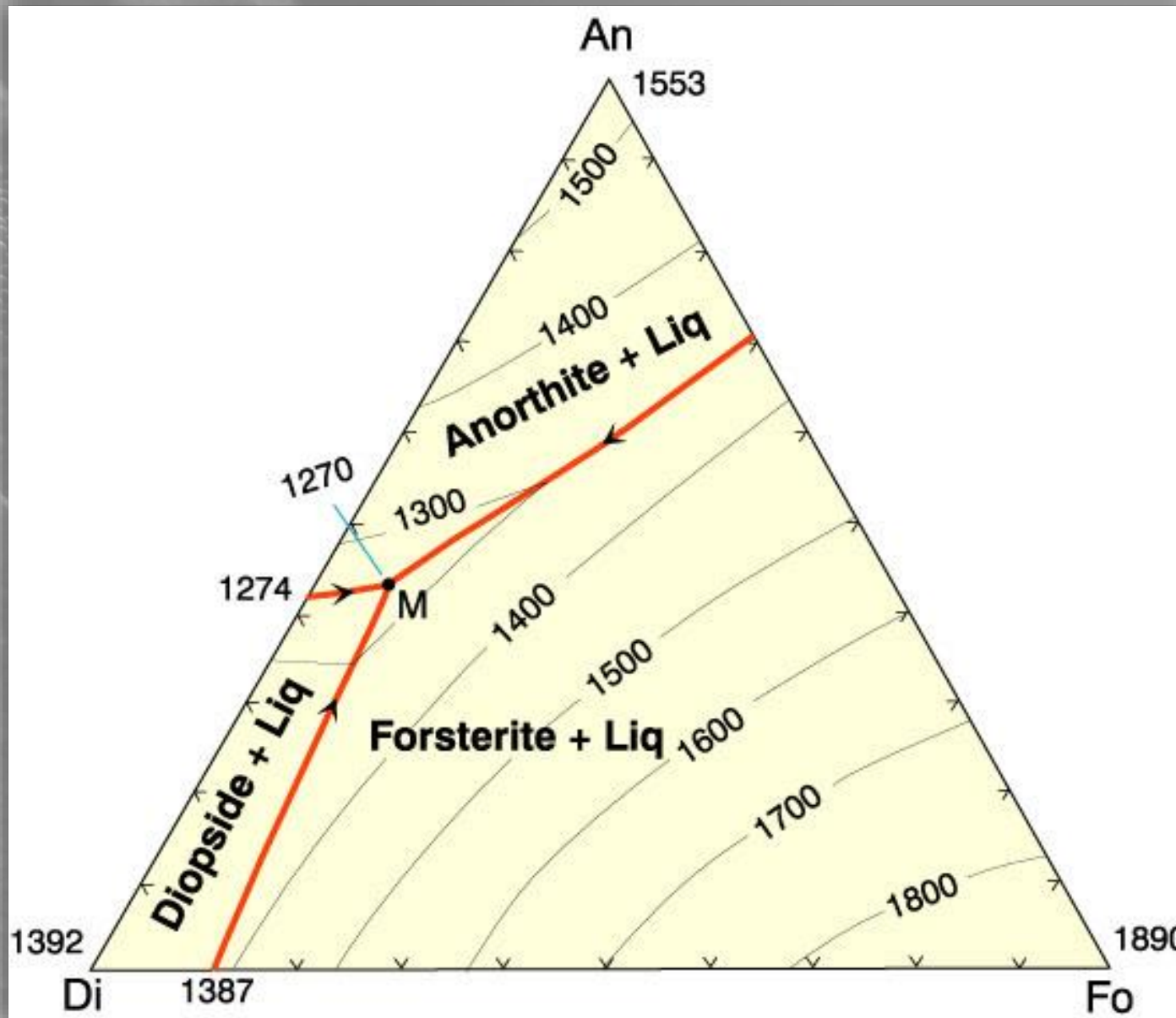
3 binarna eutektika

Nema čvrstih otopina

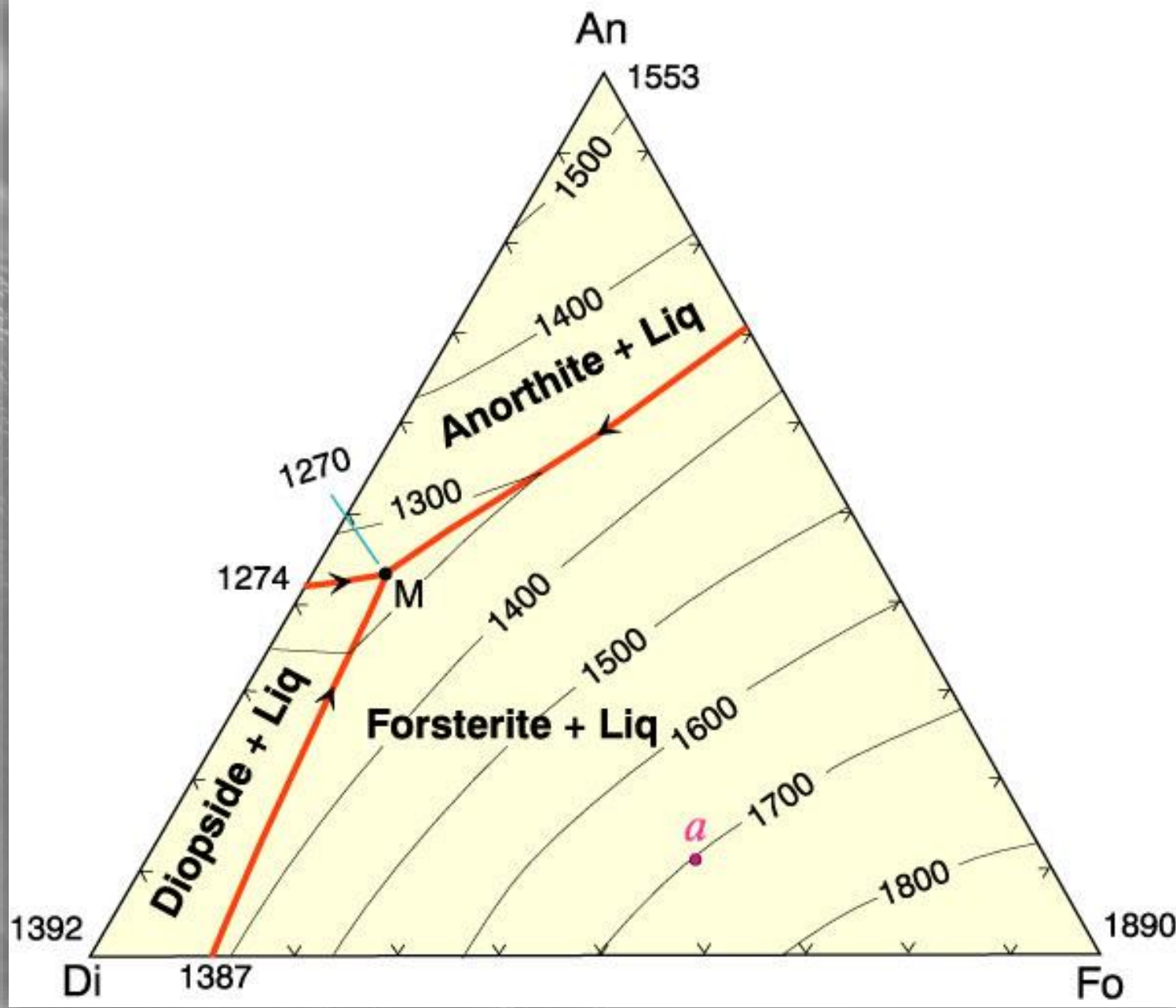
Ternarni eutektik = M

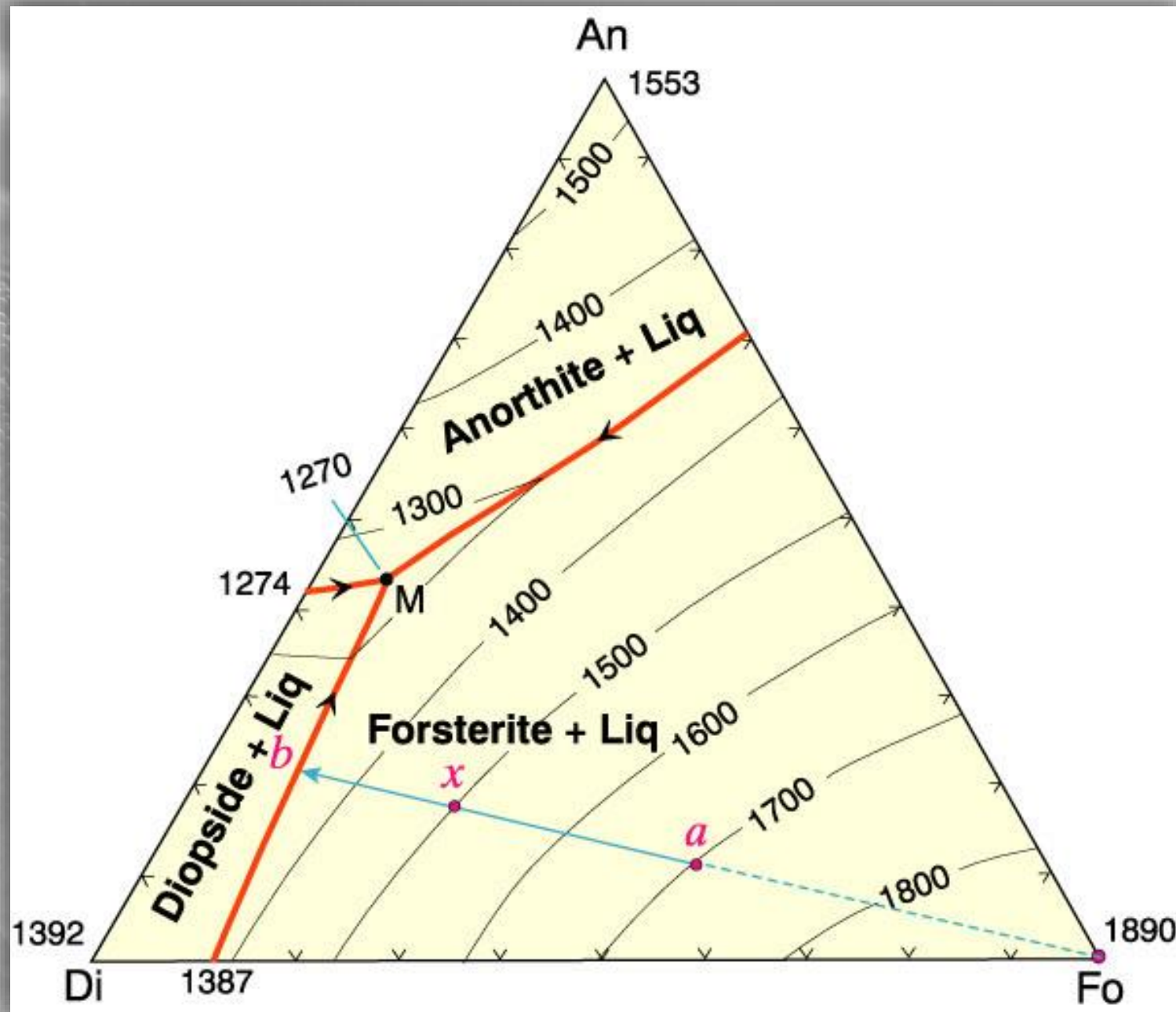


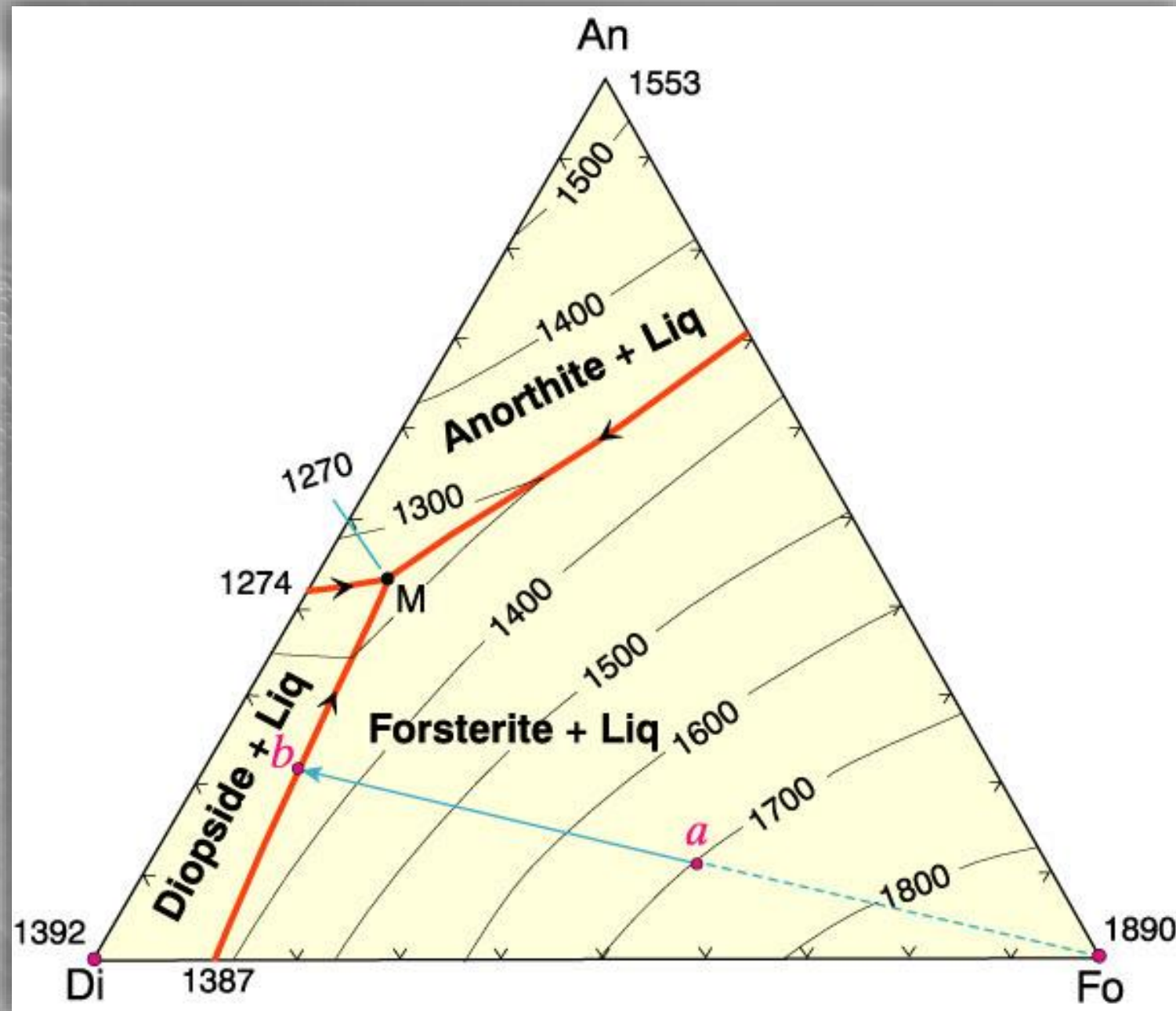
T - X projekcija Di - An - Fo



Slika II-57. Izobarni dijagram pokazuje likvidusne temperature u sustavu Di-An-Fo pri atmosferskom tlaku (0.1 MPa). Prema Bowen (1915), A. J. Sci., and Morse (1994), Basalts and Phase Diagrams. Krieger Publishers.



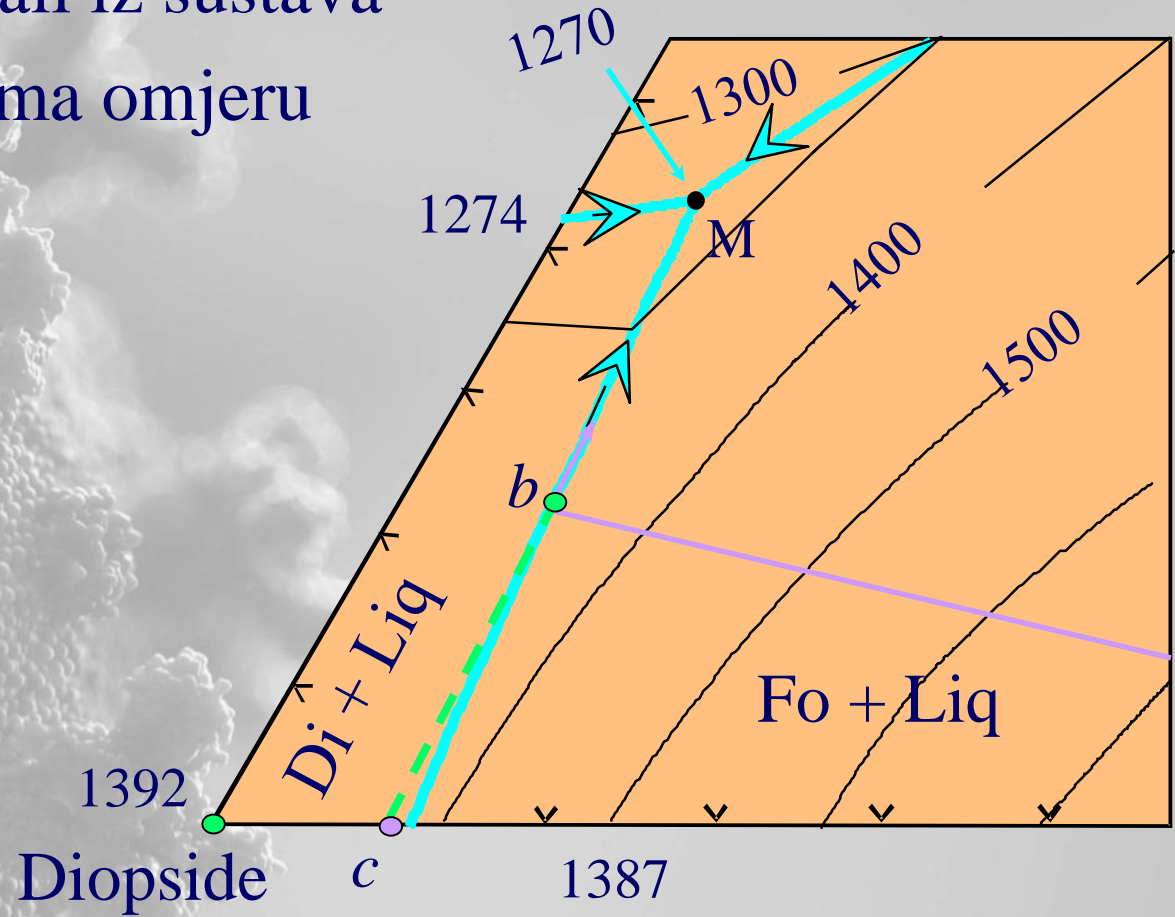


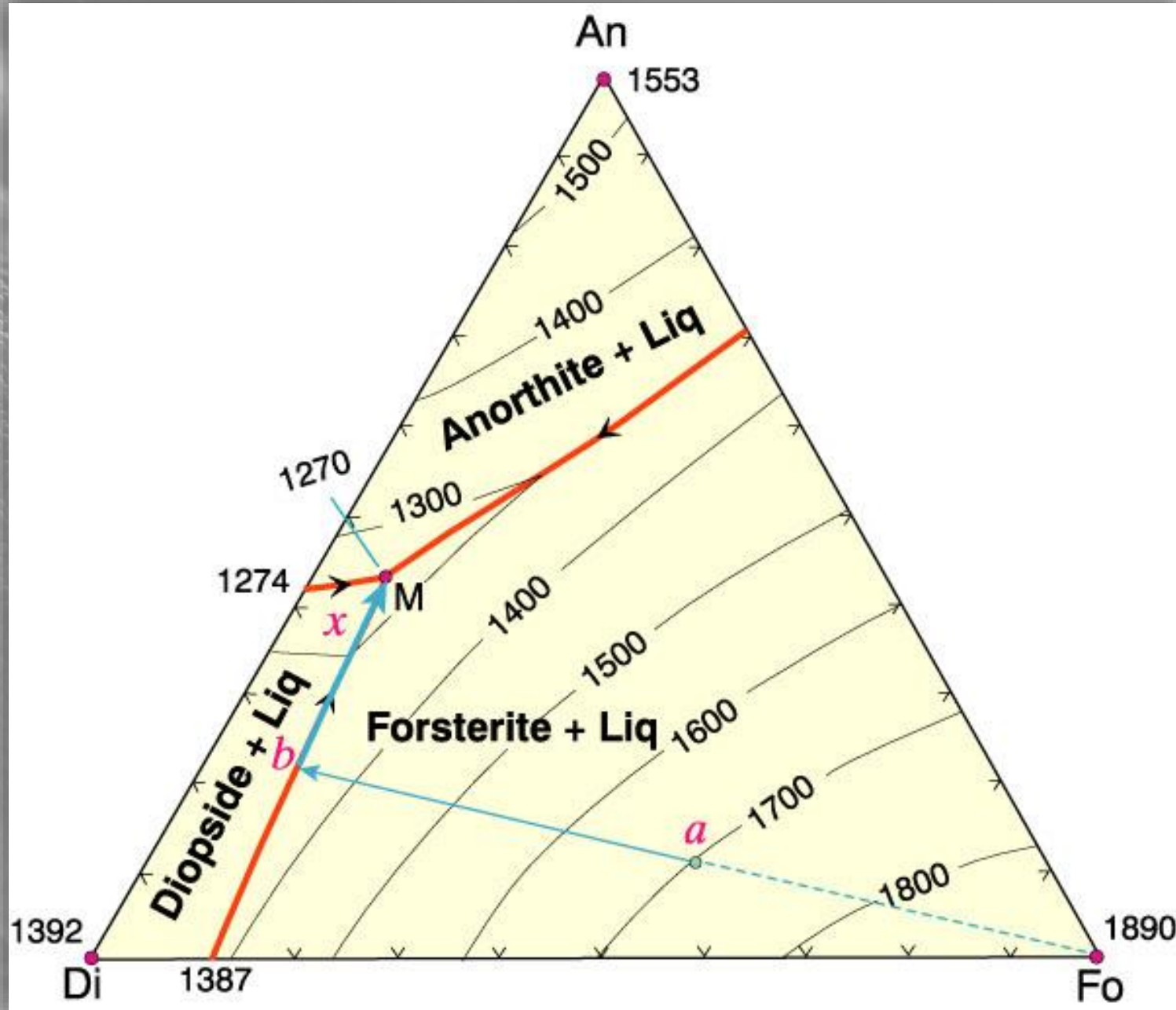


- Nova kontinuirana reakcija kako taljevina slijedi kotektičku liniju:



- Izdvajaju se kristali iz sustava
- Di/Fo odnos prema omjeru





Gravitacijska diferencijacija Stoke-sov zakon

$$V = \frac{2gr^2(r_s - r_l)}{9h}$$

V = brzina tonjenja (cm/sec)

g = ubrzanje uslijed gravitacije (980 cm/sec²)

r = *radius* sferične čestice (cm)

r_s = gustoća krute sferične čestice (g/cm³)

r_l = gustoća taljevine (g/cm³)

h = viskozitet taljevine (1 c/cm sec = 1 poise)

Stokes-ov zakon je jako pojednostavljen

1. Kristali nisu sferični
2. Samo se bazaltne magme blizu T likvidusa ponašaju kao fluidi po Newton-ovom zakonu

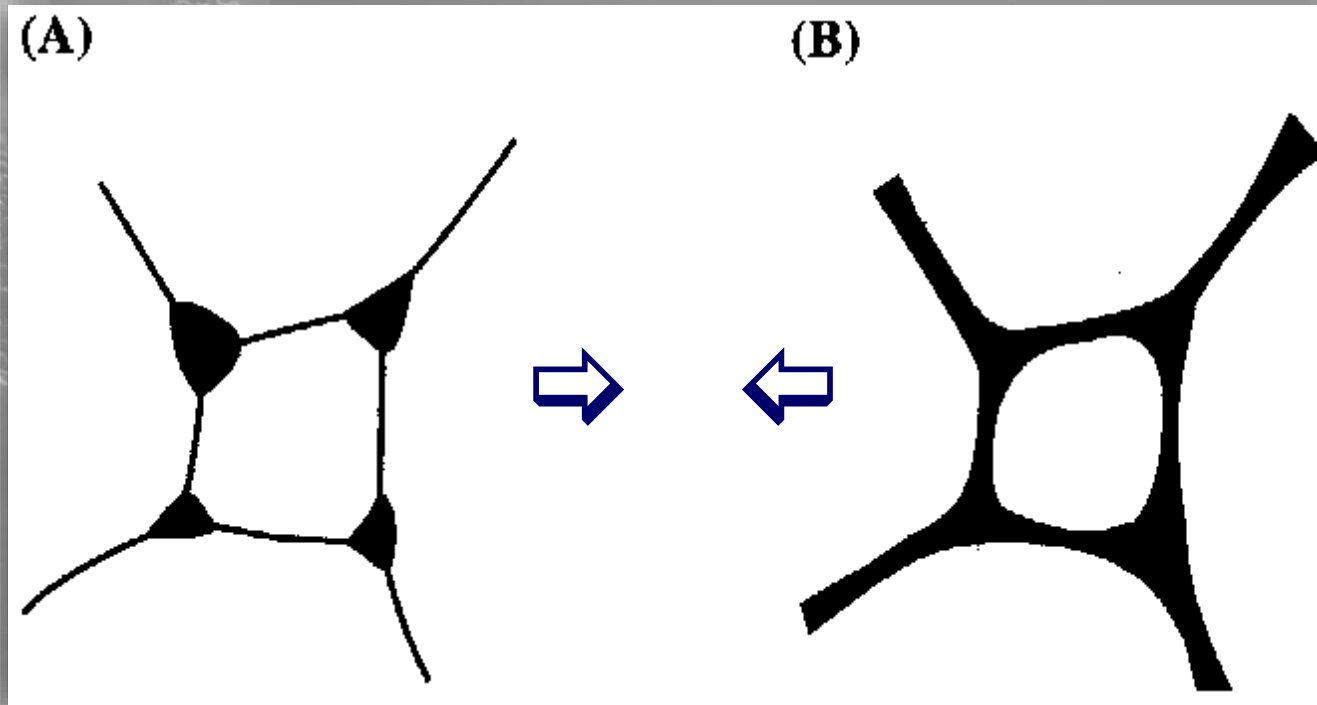
Bazaltna taljevina

- ◆ Olivin ($\rho_s = 3.3 \text{ g/cm}^3$, $r = 0.1 \text{ cm}$)
- ◆ ($\rho_l = 2.65 \text{ g/cm}^3$, $\eta = 1000 \text{ poise}$)
- ◆ $V = 2 \cdot 980 \cdot 0.1^2 (3.3 - 2.65) / 9 \cdot 1000 = 0.0013 \text{ cm/sec}$

Riolitna taljevina

- ◆ $\eta = 10^7 \text{ poise}$ i $\rho_l = 2.3 \text{ g/cm}^3$
- ◆ kristal hornblende ($\rho_s = 3.2 \text{ g/cm}^3$, $r = 0.1 \text{ cm}$)
 - ~ $V = 2 \times 10^{-7} \text{ cm/sec}$, ili 6 cm/god
- ◆ kristal feldspata ($\rho_l = 2.7 \text{ g/cm}^3$)
 - ~ $V = 2 \text{ cm/god}$
 - ~ $= 200 \text{ m u } 10^4 \text{ god. koliko traje hlađenje štoka}$

Kristalna filtracija



Sastav filtrirane magme je drugačiji

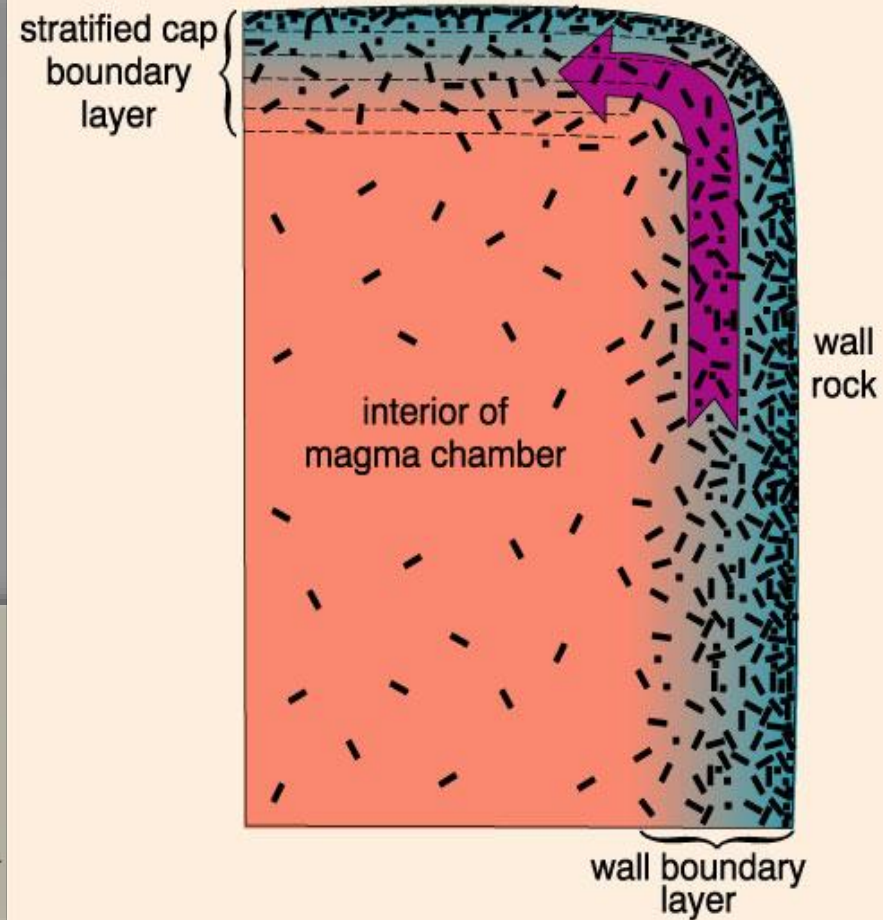
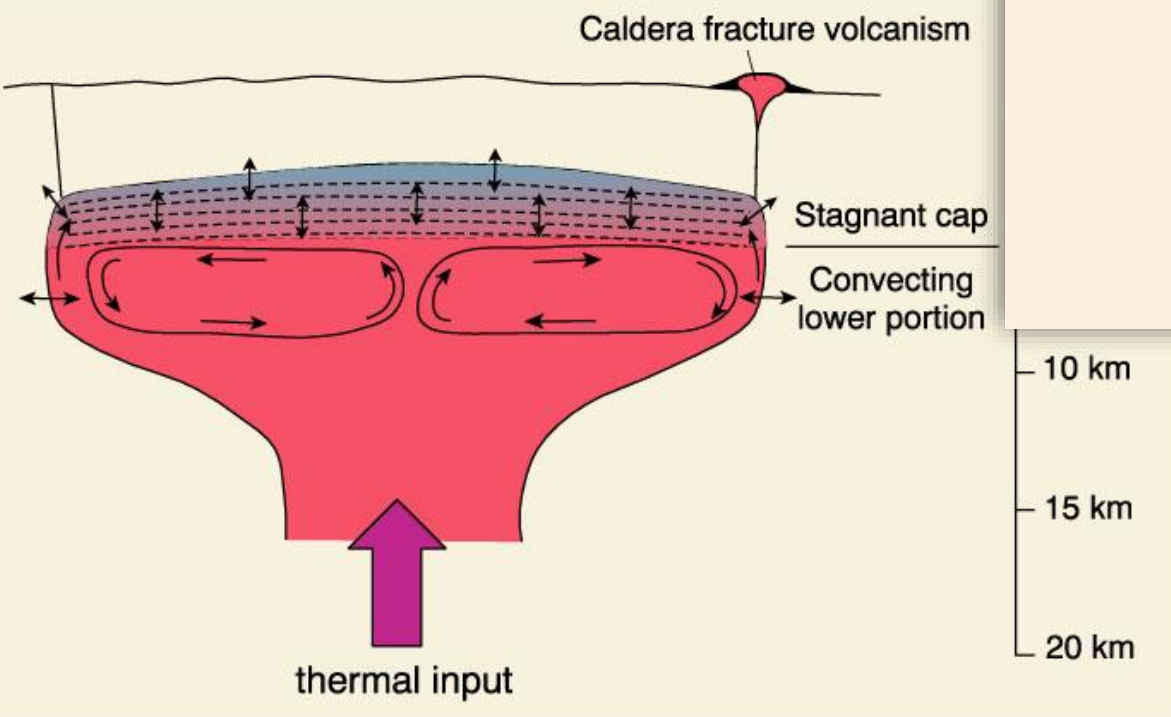
Dva mehanizma koji imaju utjecaj na odvajanje kristala od taljevine

1. Kompakcija

2. Segregacija taljevine

Diferencijacija magme u likvidnom stanju

a. Termogravitacijska difuzija

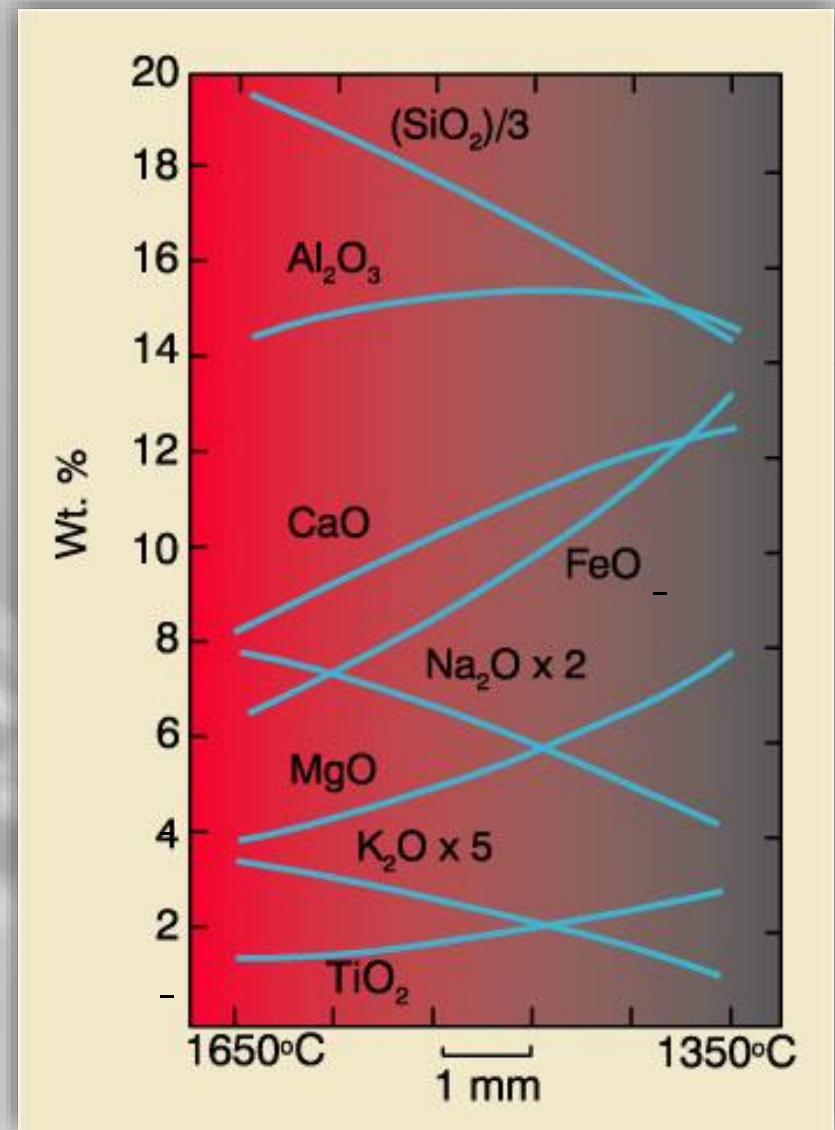


Slika II-66b Prema Winter (2001) An Introduction to Igneous and Metamorphic Petrology. Prentice Hall

Walker i DeLong (1982) podvrgnuli su 2 bazalta termalnom gradijentu od skoro $50^{\circ}\text{C}/\text{mm}$ (!)

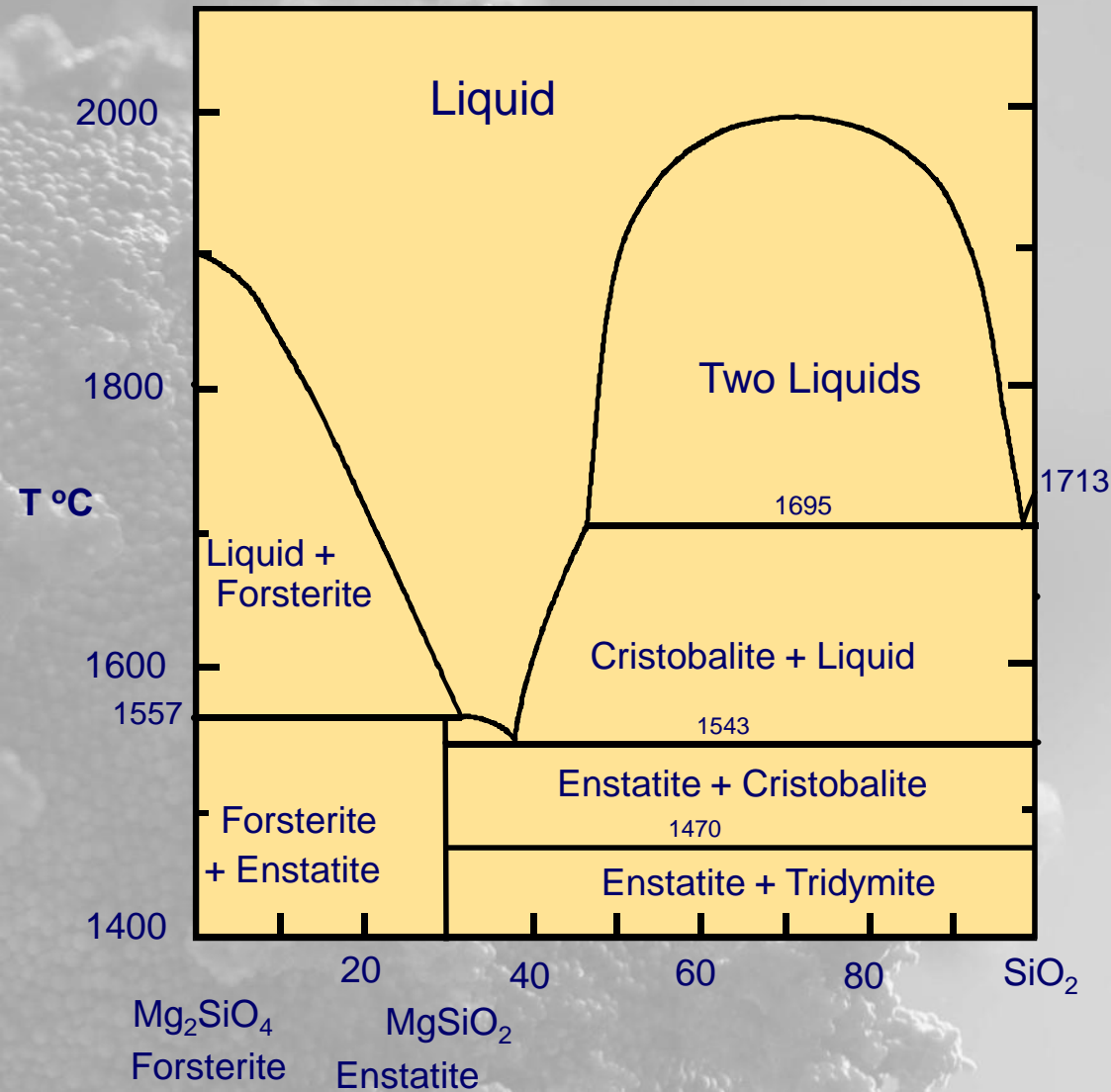
Uzorci dosižu stabilno stanje u nekoliko dana

- Termalna difuzija ili Soret-ov efekat
- Teži elementi \rightarrow hladniji kraj, a lakši \rightarrow topliji kraj
- Teški element/molekule migriraju prema hladnijim dijelovima magme a lakši prema toplijim



Slika II-67. Prema Walker, D. C. and S. E. DeLong (1982). Contrib. Mineral. Petrol., 79, 231-240.

b. Nemiješanje taljevina u Fo-SiO₂ sustavu



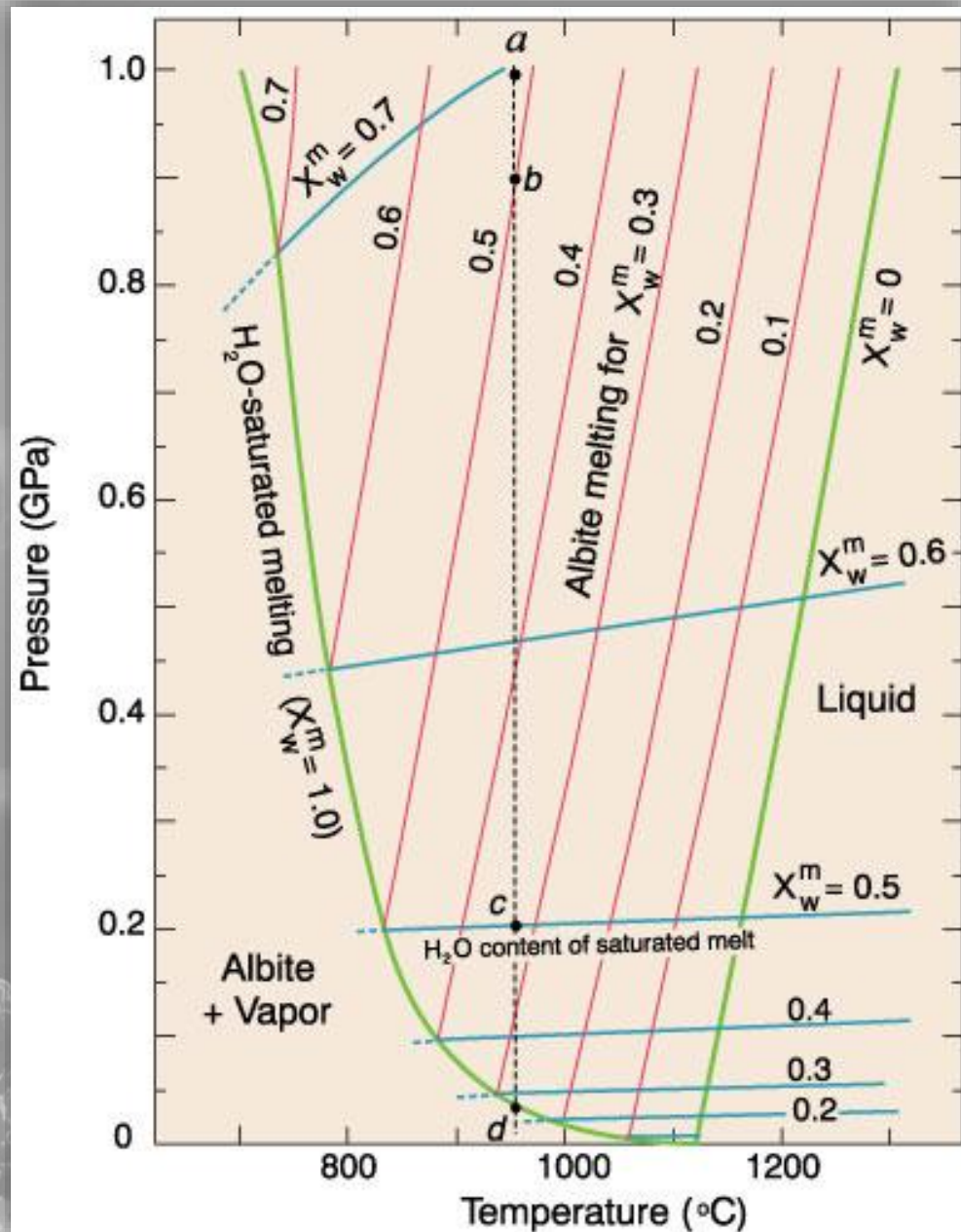
Likvacija
ulje + voda

- Si kapljice u Fe-bogatim toleitnim bazaltima
- Sulfid-silikat nemiješanje (masivna sulfidna rudna ležišta)
- Karbonatit-nefelinit sustav

Volatilna diferencijacija Transport volatilima

Volatili oslobođeni
zagrijavanjem minerala s
vodom ili stijena u
kontaktu s magmom

Kako se magma s volatilima
(ali još uvijek
podzasićena) uzdiže, pada
pritisak, i magma postaje
zasićena parama te se
tada oslobađa slobodna
faza u obliku pare



Slika II-69. Prema Burnham and Davis (1974).
A J Sci., 274, 902-940.

Magmatski stadiji

- zadnje nastale taljevine obogaćene inkompatibilnim, LIL i nelitofilnim elementima
 - Mnogi se koncentriraju u “pari”
 - Dobije se zasićena Si taljevina
-
- magmatski procesi
 - pneumatolitski procesi
 - pegmatiti
 - hidroterme

Asimilacija

- Ugradnja stijena iz kontaktnog ruba (difuzija, ksenoliti)
- Asimilacija taljenjem je ograničena ukupnom količinom topline u magmi

Magma Mixing

- Miješanje krajnih članova (end member mixing) za seriju stijena
- Kombinirani procesi
- dva procesa mogu djelovati zajedno
 - ◆ AFC: FX daje potrebnu toplinu za asimilaciju
 - ◆ FX + nova primarna magma